

# Registro de Câncer de Base Populacional

## Jahu - São Paulo



Acesse a versão em pdf  
através deste QR Code

Jahu - São Paulo - 2025



Fundação  
Amaral Carvalho



**Prefeitura Municipal de Jahu**

**Jorge Ivan Cassaro** – Prefeito  
**Juliana Fabre** – Vice-prefeita

**Secretaria Municipal de Saúde**

**Dr. José Aparecido Segura Ruiz** – Secretário

**Fundação Amaral Carvalho**

**Diretoria Institucional**

**Alcindo Storti** – Presidente  
**Vitório Munerato Neto** – Vice-Presidente  
**Ary Ferreira Dias Júnior** – Primeiro secretário  
**Viviane Hanshkov** – Segunda secretária  
**Carlos Eduardo Nabuco de Araújo** – Primeiro tesoureiro  
**Alexandre Ribeiro de Amorim Brandão** – Segundo tesoureiro

**Superintendência Executiva**

**Antonio Luis Cesarino de Moraes Navarro** – Diretor Superintendente  
**Cristina Aparecida Trigo Martins Moro** – Diretora de Desenvolvimento em Saúde  
**Eduardo Tadeu Guedes Piragino** – Diretor de Apoio Social  
**Jayme de Oliveira e Sousa Júnior** – Diretor Técnico e Médico  
**João Guilherme de Almeida Prado Franceschi** – Diretor de Relacionamento  
**José Antonio Barata de Almeida Bueno** – Diretor Administrativo Financeiro  
**Luiz Fernando Marsiglia Schwarz** – Diretor de Transparência e Imagem Institucional  
**Rodrigo de Callis Brandão** – Diretor de Ações Estratégicas

**Diretoria Clínica**

**Fausto de Chiacchio Guimarães** – Diretor Clínico  
**Iago Colturato** – Vice-Diretor Clínico

**Registro de Câncer de Base Populacional**

**Donaldó Botelho Veneziano**  
**Claudia Luciana de Araújo Veneziano**

**Registro de Câncer de Base Populacional de Jahu - SP**

**Rua Dona Silvéria, 150 – Chac. Braz Miráglia**

**Jahu – São Paulo – CEP: 17210-080**

**Fone: +55 14 3602-1392**

**Internet: www.amaralcarvalho.org.br**

**Tiragem: XXX exemplares**

**Ficha Catalográfica**

**Dados Internacionais de Catalogação na Publicação (CIP)  
(Câmara Brasileira do Livro, SP, Brasil)**

Registro de câncer de base populacional 2018 a  
2021 / [coordenação Donaldó Botelho Veneziano,  
Cláudia Luciana de Araújo Veneziano]. --  
Jaú, SP : Hospital Amaral Carvalho, 2025.

Vários colaboradores.  
Bibliografia.  
ISBN 978-65-989178-0-7

1. Câncer 2. Estatística 3. Indicadores de  
saúde - Brasil 4. Medicina 5. Neoplasias 6. Saúde  
I. Veneziano, Donaldó Botelho. II. Veneziano,  
Cláudia Luciana de Araújo.

25-308706.1

CDD-362.1068

**Índices para catálogo sistemático:**

1. Indicadores de saúde 362.1068

# **Registro de Câncer de Base Populacional de Jahu**

**2018 - 2021**

**Donaldo Botelho Veneziano  
Claudia Luciana de Araújo Veneziano**

**Jaú - Brasil  
2025**



## **Sumário**

	<b>Pág.</b>
Prefácio .....	9
Agradecimentos .....	11
1. A cidade de Jahu – caracterização da área de cobertura .....	12
2. O Registro de Câncer de Base Populacional de Jahu .....	15
3. Metodologia .....	17
4. Apresentação dos dados .....	22
5. Análise dos casos do período 2018 a 2021 .....	23
5.a. Análise segundo faixa etária .....	27
5.b. Análise segundo incidência .....	34
5.c. Análise segundo principais tumores .....	37
5.d. Análise dos tumores infantis .....	38
5.e. Indicadores de qualidade .....	41
6. Análise segundo RCBP's do Brasil .....	42
7. Destaques .....	49
8. Referências bibliográficas.....	51
9. Anexo: Modelo da ficha de coleta dos dados.....	52



## **Lista de Tabelas**

<b>Tabela 1</b> - População residente no município de Jahu, 2020.....	19
<b>Tabela 2</b> - Distribuição do número de casos segundo localização do tumor primário e ano de diagnóstico, sexo masculino, RCBP-Jahu, 2018 a 2021 .....	24
<b>Tabela 3</b> - Distribuição do número de casos segundo localização do tumor primário e ano de diagnóstico, sexo feminino, RCBP-Jahu, 2018 a 2021.....	25
<b>Tabela 4</b> - Principais localizações de tumores segundo ano de diagnóstico, sexo masculino, RCBP-Jahu, 2018 a 2021 .....	26
<b>Tabela 5</b> - Principais localizações de tumores segundo ano de diagnóstico, sexo feminino, RCBP-Jahu, 2018 a 2021 .....	26
<b>Tabela 6</b> - Distribuição do número de casos segundo localização do tumor primário e faixa etária, sexo masculino, RCBP-Jahu, 2018 a 2021 .....	28
<b>Tabela 7</b> - Distribuição do número de casos segundo localização do tumor primário e faixa etária, sexo feminino, RCBP-Jahu, 2018 a 2021 .....	29
<b>Tabela 8</b> - Coeficientes de incidência, específicos por idade, brutos e ajustados; por 100 mil homens, segundo localização primária e faixa etária, RCBP-Jahu, 2018 a 2021 .....	35
<b>Tabela 9</b> - Coeficientes de incidência, específicos por idade, brutos e ajustados; por 100 mil mulheres, segundo localização primária e faixa etária, RCBP-Jahu, 2018 a 2021 .....	36
<b>Tabela 10</b> - Número de casos, coeficientes de incidência, brutos e ajustados por idade, por 100 mil homens, segundo principais localizações de tumores, RCBP-Jahu, 2018 a 2021.....	37
<b>Tabela 11</b> - Número de casos, coeficientes de incidência, brutos e ajustados por idade, por 100 mil mulheres, segundo principais localizações de tumores, RCBP-Jahu, 2018 a 2021.....	37
<b>Tabela 12</b> - Distribuição do número de casos segundo Classificação Internacional do Câncer na Infância (CICI), tumores infantis (0-19 anos), meninos, RCBP-Jahu, 2018 a 2021 .....	39
<b>Tabela 13</b> - Distribuição do número de casos segundo Classificação Internacional do Câncer na Infância (CICI), tumores infantis (0-19 anos), meninas, RCBP-Jahu, 2018 a 2021 .....	39
<b>Tabela 14</b> - Coeficientes de incidência, brutos e ajustados por idade, por milhão de meninos, segundo Classificação Internacional do Câncer na Infância (CICI), tumores infantis (0-19 anos), RCBP-Jahu, 2018 a 2021 .....	40
<b>Tabela 15</b> - Coeficientes de incidência, brutos e ajustados por idade, por milhão de meninas, segundo Classificação Internacional do Câncer na Infância (CICI), tumores infantis (0-19 anos), RCBP-Jahu, 2018 a 2021 .....	40
<b>Tabela 16</b> - Indicadores de qualidade dos dados registrados e parâmetros sugeridos pelo INCA, RCBP-Jahu, 1996-1999 a 2018-2021 .....	41



## **Lista de Gráficos**

<b>Gráfico 1 - Pirâmide populacional da cidade de Jahu, 2020.....</b>	<b>19</b>
<b>Gráfico 2 - Distribuição do número de casos cadastrados segundo ano de diagnóstico e sexo, RCBP-Jahu, 2018 a 2021 .....</b>	<b>23</b>
<b>Gráfico 3 - Distribuição dos casos cadastrados segundo faixa etária e sexo, RCBP-Jahu, 2018 a 2021.....</b>	<b>27</b>
<b>Gráfico 4 - Principais localizações de tumores na faixa etária até 14 anos, sexo masculino, RCBP-Jahu, 2018 a 2021 .....</b>	<b>30</b>
<b>Gráfico 5 - Principais localizações de tumores na faixa etária entre 15 e 39 anos, sexo masculino, RCBP-Jahu, 2018 a 2021 .....</b>	<b>31</b>
<b>Gráfico 6 - Principais localizações de tumores na faixa etária entre 40 e 64 anos, sexo masculino, RCBP-Jahu, 2018 a 2021 .....</b>	<b>31</b>
<b>Gráfico 7 - Principais localizações de tumores na faixa etária a partir dos 65 anos, sexo masculino, RCBP-Jahu, 2018 a 2021 .....</b>	<b>31</b>
<b>Gráfico 8 - Principais localizações de tumores na faixa etária até 14 anos, sexo feminino, RCBP-Jahu, 2018 a 2021 .....</b>	<b>32</b>
<b>Gráfico 9 - Principais localizações de tumores na faixa etária entre 15 e 39 anos, sexo feminino, RCBP-Jahu, 2018 a 2021 .....</b>	<b>32</b>
<b>Gráfico 10 - Principais localizações de tumores na faixa etária entre 40 e 64 anos, sexo feminino, RCBP-Jahu, 2018 a 2021 .....</b>	<b>33</b>
<b>Gráfico 11 - Principais localizações de tumores na faixa etária a partir dos 65 anos, sexo feminino, RCBP-Jahu, 2018 a 2021 .....</b>	<b>33</b>
<b>Gráfico 12 - Coeficientes de incidência específicos por idade (todas as localizações), por 100 mil, segundo faixa etária e sexo, RCBP-Jahu, 2018 a 2021 .....</b>	<b>34</b>
<b>Gráfico 13 - Distribuição dos casos de câncer segundo idade (até 19 anos) e sexo, RCBP-Jahu, 2018 a 2021 .....</b>	<b>38</b>
<b>Gráfico 14 - Coeficientes de incidência ajustados por idade, segundo RCBP's brasileiros e período de referência, todas as localizações, sexo masculino .....</b>	<b>43</b>
<b>Gráfico 15 - Coeficientes de incidência ajustados por idade, segundo RCBP's brasileiros e período de referência, pele não melanoma, sexo masculino.....</b>	<b>43</b>
<b>Gráfico 16 - Coeficientes de incidência ajustados por idade, segundo RCBP's brasileiros e período de referência, próstata .....</b>	<b>44</b>
<b>Gráfico 17 - Coeficientes de incidência ajustados por idade, segundo RCBP's brasileiros e período de referência, brônquios e pulmões, sexo masculino .....</b>	<b>44</b>
<b>Gráfico 18 - Coeficientes de incidência ajustados por idade, segundo RCBP's brasileiros e período de referência, cólon, sexo masculino .....</b>	<b>45</b>
<b>Gráfico 19 - Coeficientes de incidência ajustados por idade, segundo RCBP's brasileiros e período de referência, estômago, sexo masculino .....</b>	<b>45</b>
<b>Gráfico 20 - Coeficientes de incidência ajustados por idade, segundo RCBP's brasileiros e período de referência, todas as localizações, sexo feminino.....</b>	<b>46</b>
<b>Gráfico 21 - Coeficientes de incidência ajustados por idade, segundo RCBP's brasileiros e período de referência, pele não melanoma, sexo feminino .....</b>	<b>46</b>
<b>Gráfico 22 - Coeficientes de incidência ajustados por idade, segundo RCBP's brasileiros e período de referência, mama, sexo feminino .....</b>	<b>47</b>

<b>Gráfico 23</b> - Coeficientes de incidência ajustados por idade, segundo RCBP's brasileiros e período de referência, cólon, sexo feminino .....	47
<b>Gráfico 24</b> - Coeficientes de incidência ajustados por idade, segundo RCBP's brasileiros e período de referência, colo do útero .....	48
<b>Gráfico 25</b> - Coeficientes de incidência ajustados por idade, segundo RCBP's brasileiros e período de referência, glândula tireóide, sexo feminino .....	48

## Prefácio

Esta publicação trata da quinta edição do consolidado de informações do Registro de Câncer de Base Populacional de Jahu (RCBP-Jahu), trabalho exemplar realizado por profissionais dedicados e que estará disponível à profissionais de saúde do Sistema Único de Saúde – SUS, gestores e comunidade científica.

É por meio de ações de vigilância e monitoramento que se torna possível identificar casos de neoplasia logo em seus estágios iniciais, possibilitando um tratamento precoce e ampliando as chances de cura.

Esse Registro de Câncer de Base Populacional tem se mostrado uma importante ferramenta de identificação das características dos pacientes, tratamentos realizados e evolução da doença, servindo como base para estudos científicos.

É por meio de mecanismos como esse que se torna possível e realização da coleta, armazenamento, processamento e análise de dados sobre essa patologia em nossa população.

O Hospital Amaral Carvalho é motivo de orgulho para a nossa Jahu, promovendo um atendimento de excelência na área da oncologia, servindo de referência não só em âmbito nacional, mas também recebendo pacientes de toda a América Latina, assegurando tratamentos diferenciados no combate ao câncer, incluindo diferentes programas de prevenção em saúde, sendo que muitos deles são desenvolvidos em parceria com a Prefeitura.

Esta obra, certamente, vai garantir a divulgação de informações que contribuirão para estudos epidemiológicos da nossa população.

Por fim, mais uma vez parabenizo todos os profissionais envolvidos nesse trabalho, em especial a equipe do Amaral Carvalho que desenvolve o Registro de Câncer de Base Populacional – RCBP do nosso Município, que seguramente proverá avanços no desenvolvimento científico sobre a incidência de câncer no Brasil.

**Jorge Ivan Cassaro**  
Prefeito Municipal

Com o lançamento da quinta edição da publicação “Registro de Câncer de Base Populacional de Jahu (RCBP-Jahu)”, o Hospital Amaral Carvalho, em parceria com a Prefeitura Municipal de Jahu, consolida-se como importante componente do sistema nacional de vigilância do câncer.

Com suas atividades iniciadas em 2006, o RCBP-Jahu tem registradas informações sobre mais de 17 mil casos de câncer residentes em Jaú entre os anos 1996 e 2021 abrangendo um período de 26 anos. Essas informações, além de apresentarem o perfil epidemiológico do câncer no nível local, permitem análises temporais e comparativas entre outras localidades do Brasil e outras regiões mundiais. A integração das informações produzidas pelo RCBP-Jahu com aquelas produzidas pelos Registros Hospitalares de Câncer (RHC) e pelo Sistema de Informações sobre Mortalidade (SIM), reforça a qualidade do trabalho realizado por sua equipe e seu compromisso em manter o maior grau de completude e atualidade das informações.

O Hospital Amaral Carvalho, na condição de centro de referência nacional no tratamento oncológico e também como responsável, em parceria com a administração pública municipal de Jahu, por diversos programas de prevenção do câncer na cidade, se sente recompensado e alinhado em sua missão de promover a saúde e o bem-estar dos pacientes oncológicos do País, em especial, dos moradores de Jahu.

Esperamos que as informações produzidas pelo RCBP-Jahu possam contribuir cada vez mais na vigilância do câncer em nossa cidade, subsidiando a elaboração e consolidação das campanhas e programas de prevenção do câncer.

**Antonio Luis Cesarino de Moraes Navarro**  
Diretor Superintendente - Fundação Amaral Carvalho

## Agradecimentos

Com o lançamento da quinta edição da publicação do Registro de Câncer de Base Populacional de Jahu, completa-se uma série histórica de 26 anos de informações sobre os casos de câncer em residentes na cidade.

Nesse período, todos os esforços da equipe do RCBP-Jahu foram no sentido de coletar, analisar, preparar e publicar informações confiáveis sobre essa patologia. A oportunidade da participação do RCBP-Jahu em estudos nacionais e internacionais, promovidos por renomadas entidades, consolida a qualidade e a atualidade das informações produzidas.

A inclusão dos dados do RCBP-Jahu nas publicações da Agência Internacional de Pesquisa em Câncer (IARC em inglês), *Cancer Incidence in Five Continents, Volume XI* (2021) e *XII* (2024) e, no cenário nacional, a participação nas publicações sobre a estimativa de câncer no Brasil, editadas pelo Instituto Nacional de Câncer (INCA) desde 2014, reforçam a importância do RCBP-Jahu em relação aos estudos e pesquisas sobre os casos de câncer.

Nossos agradecimentos à administração, médicos e funcionários do Hospital Amaral Carvalho, ao seu Registro Hospitalar de Câncer e médicos de sua comissão assessorada, à Secretaria Municipal da Saúde, à Santa Casa de Jahu, ao Laboratório de Anatomia Patológica de Jaú, aos consultórios médicos e demais serviços que colaboraram no fornecimento de informações sobre os casos notificáveis, nosso agradecimento e reconhecimento.

À Coordenação de Prevenção e Vigilância (Conprev), Instituto Nacional de Câncer (INCA), nossa gratidão pelo apoio e incentivo no sentido da melhoria contínua das informações produzidas.

Obrigado a todos!

**Donaldó Botelho Veneziano**  
Registro de Câncer de Base Populacional de Jahu

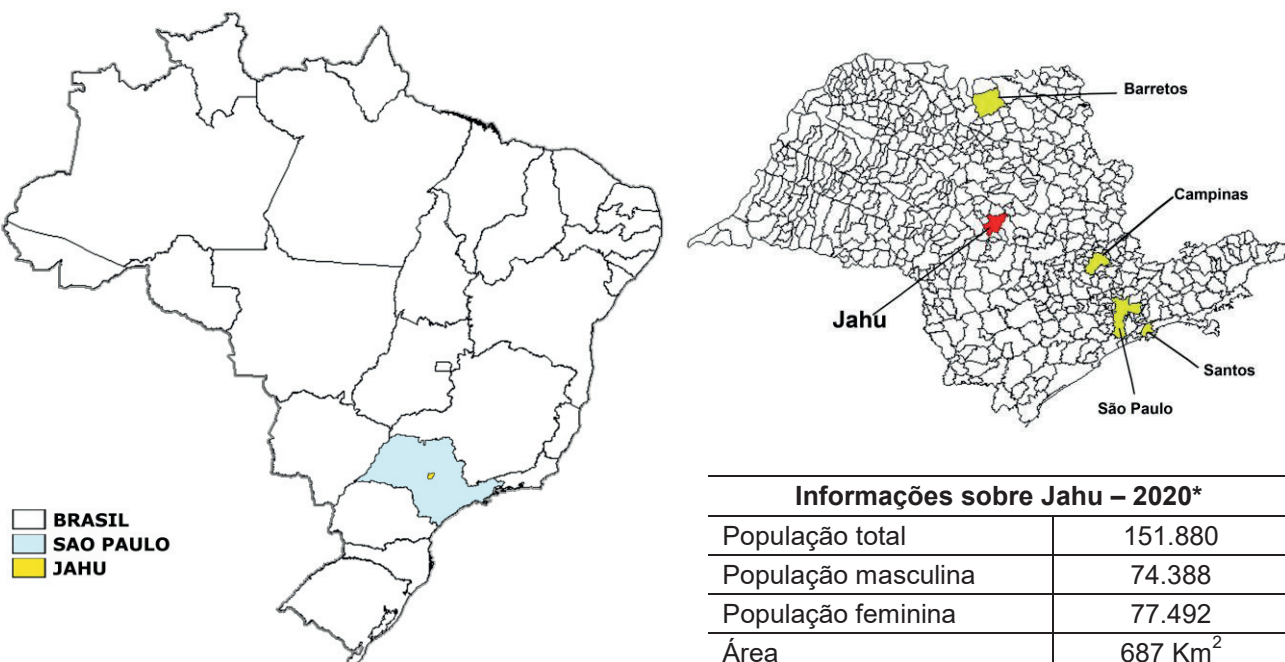
## 1.A cidade de Jahu-caracterização da área de cobertura

Fundada em 1853 às margens do rio Jahu e elevada à condição de município em 1889, com uma população de 151.880 habitantes (IBGE, 2020), Jahu localiza-se na região central do Estado de São Paulo, a 296 km da capital. Num raio de 200 km, estão diversas cidades que são referência econômica em suas respectivas regiões, como Campinas, Ribeirão Preto, Araraquara, Bauru, Marília, Piracicaba, Rio Claro e São Carlos.

O município é servido por rodovias estaduais e municipais. As estradas estaduais de acesso ao município são: **SP-225**, que liga a Brotas, Itirapina (Rodovia Washington Luis), Bauru (Rodovia Marechal Rondon) e Marília; **SP-255**, que liga a Bocaina, Araraquara (Rodovia Washington Luis), Barra Bonita e São Manuel (Rodovia Castelo Branco); **SP-304**, que liga a Bariri e Santa Maria da Serra.

Banhada pelo rio Tietê, a cidade se beneficia da Hidrovia Tietê-Paraná, através do transporte intermodal hidro-ferro-rodoviário. Jahu é uma das pioneiras no Brasil em transporte fluvial de cana-de-açúcar, realizado em chatas.

**Figura 1- Localização do município de Jahu e outras cidades com RCBP instalado, Estado de São Paulo**



\* IBGE ([www.datasus.gov.br](http://www.datasus.gov.br))

Com um solo excelente para atividades agrícolas, a terra predominante no município é de Latosol roxo, com textura argilosa e muito profunda, que tornou o município conhecido como “Capital da Terra Roxa”. O clima tropical e precipitação pluviométrica anual entre 1.200mm e 1.500mm favorecem a exploração das culturas de cana-de-açúcar, café, frutas e algodão.

As principais atividades econômicas são representadas pela indústria calçadista e pela agroindústria canavieira, essa que ocupa posição de destaque, alçando a região entre as grandes produtoras de açúcar e álcool do Estado de São Paulo.

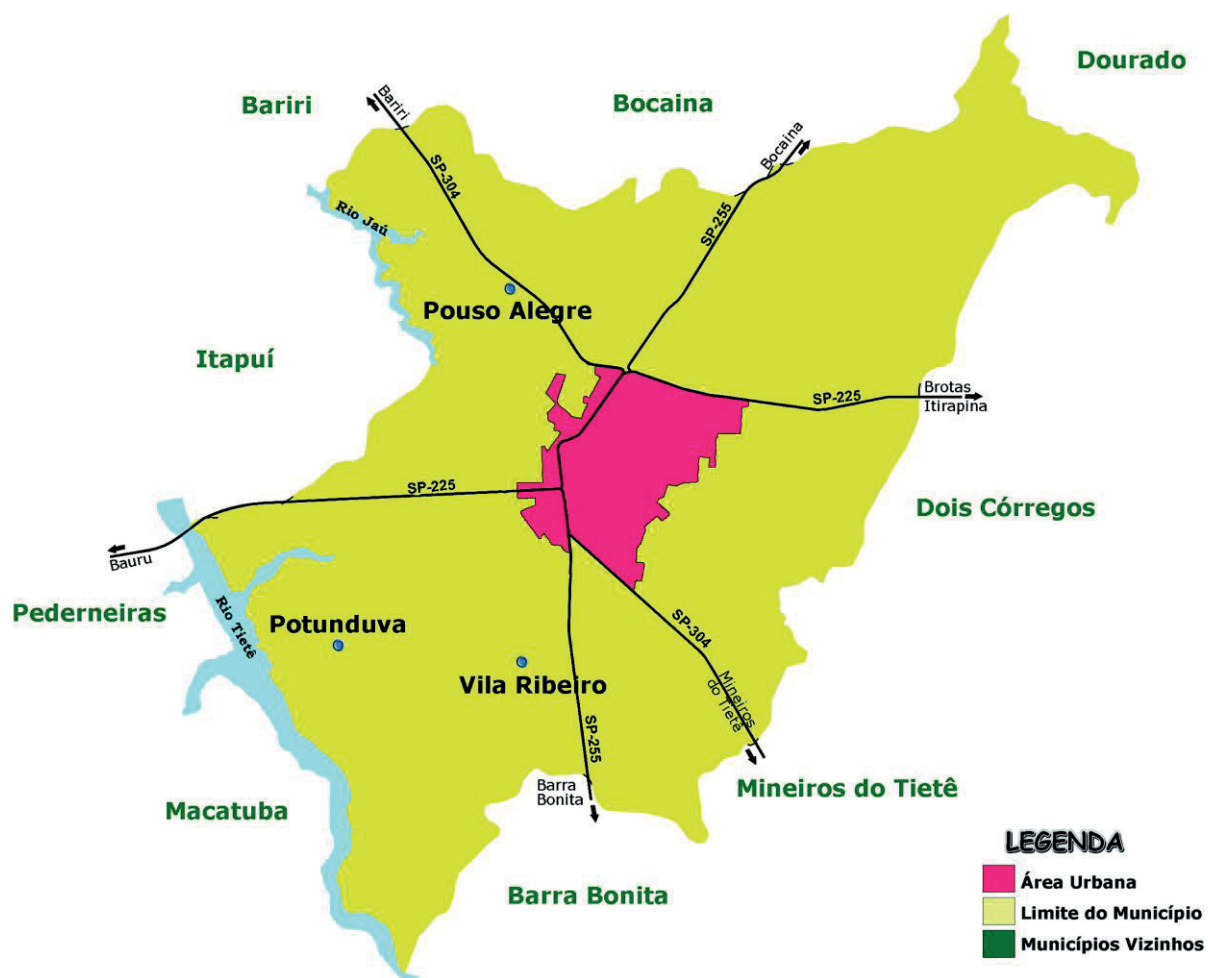
Também são destaques do setor secundário jauense: indústrias de mecânica pesada, mecânica de precisão, gráfica e cartonagens, indústrias têxteis e alimentícias. O comércio de Jahu é referência regional, atendendo cerca de 10 cidades circunvizinhas.

As ruas do município são 100% pavimentadas e iluminadas. O transporte coletivo chega a todos os bairros. As residências são abastecidas com água tratada (100%), têm o esgoto coletado (100%) e tratado (95,7%).

A Prefeitura Municipal é a responsável pela manutenção dos serviços públicos e pela dotação da infra-estrutura nos setores de transporte, saúde, educação e demais áreas da administração pública. Os recursos são arrecadados através de impostos, taxas e tributos, além dos repasses dos governos estadual e federal. Estes recursos compõem o orçamento municipal e são investidos na promoção social e no desenvolvimento da cidade.

O município é sede do Hospital Amaral Carvalho (especializado em oncologia), da Santa Casa de Jahu (hospital geral), da Associação Hospitalar Thereza Perlatti (hospital psiquiátrico) e Hospital Unimed Regional Jau (convênio/particular).

**Figura 2 - Município de Jahu, divisas municipais, área urbana, distritos, rodovias e rios**



## 2.O Registro de Câncer de Base Populacional de Jahu

### Introdução

As atividades do Registro de Câncer de Base Populacional de Jahu (RCBP-Jahu) iniciaram-se em agosto de 2006 com a celebração de convênio de cooperação entre a Prefeitura Municipal de Jahu e a Fundação Doutor Amaral Carvalho.

Foram publicados os primeiros resultados em 2008 (SEGALLA et al., 2008), referentes aos anos 2000 a 2004, com o registro de 2.745 casos de câncer em pessoas residentes na área de cobertura do RCBP-Jahu, que abrange as áreas urbana e rural. Em 2010, foi publicada uma segunda edição (SEGALLA et al., 2010) com dados referentes ao período 2005 a 2009 (3.053 casos). Em 2015, foi publicada a terceira edição (VENEZIANO et al., 2015) referente ao período 2010 a 2012 (2.229 casos) além dos casos do período 1996 a 1999 (1.571 casos) e em 2021 a quarta edição (VENEZIANO et al., 2021) referente ao período 2013 a 2017 (4.458 casos).

O RCBP-Jahu foi incluído na relação de RCBP's reconhecidos pelo Ministério da Saúde do Brasil, através da portaria nº 1.905 do Gabinete do Ministro da Saúde (Diário Oficial da União nº 160, 21 de agosto de 2009, pág.45) em 20 de agosto de 2009. A partir de então, passou a integrar as publicações do Instituto Nacional de Câncer (INCA) sobre as estimativas de incidência de câncer no Brasil.

Em 18 de agosto de 2010, foi aceito pelos Membros do Conselho Executivo (**Executive Board Members**) da Associação Internacional de Registros de Câncer (IACR em inglês), com sede em Lyon (França), como membro votante.

Em novembro de 2012, foi convidado a participar do estudo global para monitoramento das tendências de sobrevivência por câncer (CONCORD-2), encaminhando informações sobre os casos registrados no período 1996 a 2009. Em novembro de 2014, os dados foram publicados na edição on-line da revista *The Lancet* (ALLEMANI et al., 2014). Em 2015, houve o convite para participação na terceira edição do estudo (CONCORD-3), onde foram enviados os dados do período 2000 a 2014 (ALLEMANI et al., 2018). Em 2019, passou a colaborar também com informações para o estudo VENUSCANCER. Em 2023 houve o convite para participação na quarta edição do estudo CONCORD onde foram encaminhadas informações sobre os casos registrados no período 1999 a 2019.

Em 2017, teve seus dados aceitos (2008 a 2012) para compor o volume XI da publicação *Cancer Incidence in Five Continents* editada pela *International Agency for Research Cancer* (IARC) e *International Association of Cancer Registries* (IACR) (BRAY et

al., 2021). Em 2024, as informações do RCBP-Jau (2013 a 2017) também foram incluídas no volume XII da mesma série.

Em 2022, foi convidado e passou a integrar o estudo “BENCHISTA – Avaliação comparativa internacional da sobrevida de base populacional infantil segundo o estadio ao diagnóstico”.

## Infraestrutura

O RCBP-Jahu conta com um coordenador e uma assessora/registradora. Está instalado em espaço cedido pela Fundação Doutor Amaral Carvalho e conta com infraestrutura suficiente para seu funcionamento (computadores, telefone/fax e acesso à internet).



## 3. Metodologia

### Critérios de Inclusão / Exclusão de casos

Baseado na Classificação Internacional de Doenças para Oncologia – CID-O 3<sup>a</sup> edição (OMS, 2005) adaptada da Classificação Internacional de Doenças (CID) - 10<sup>a</sup> revisão (OMS, 1995), foram coletados todos os tumores de localização primária malignos, “*in situ*” ou invasores; os de localização secundária ou metastáticos e os malignos de localização incerta, se primária ou secundária.

Ainda segundo a CID-O 3<sup>a</sup> edição, não foram coletados os tumores benignos e aqueles de comportamento incerto, se benignos ou malignos.

Os casos elegíveis foram aqueles com residência comprovada na área de cobertura do RCBP e diagnóstico de câncer confirmado por exames anatomo-patológicos (histopatológicos e citopatológicos), hematológicos ou hemogramas, exploração cirúrgica, imagem, exame clínico, necropsia ou qualquer outro meio de diagnóstico, desde que com o aval do médico responsável pelo paciente ou que tenha produzido a informação. Os casos duvidosos quanto ao diagnóstico são avaliados pela comissão assessoradora do RCBP-Jahu.

Os casos identificados pela declaração de óbito foram confrontados com os arquivos do RCBP-Jahu. Aqueles que já estavam cadastrados, foram feitas as devidas atualizações das informações, principalmente a data do óbito quando a mesma não constava no cadastro. Para os casos não encontrados no cadastro, foi preenchida uma ficha de notificação e posteriormente foram cadastrados no sistema como casos registrados “Somente pela Declaração de Óbito” (SDO).

### Fontes notificadoras

São consideradas fontes notificadoras, todas as instituições que prestam assistência ao paciente com câncer dentro da área de cobertura do RCBP, independente de sua natureza pública ou privada: hospitais de câncer, hospitais gerais, hospitais universitários, clínicas especializadas, centros de diagnóstico (laboratórios de anatomia patológica e citopatologia, laboratórios de análises clínicas e hematologia e os centros radiológicos), centros de tratamento oncológico (clínicas de radioterapia e quimioterapia), cartórios, serviço de verificação de óbito, secretarias de saúde e por meio dos sistemas oficiais de informação em saúde.

Para identificação das fontes de notificação em Jahu é utilizado o Cadastro Nacional de Estabelecimento de Saúde (CNES - <http://cnes.datasus.gov.br>).

A cada ano, no início da coleta das informações, o CNES é consultado e possíveis novas fontes de notificação são identificadas. Estas fontes são contatadas pela equipe do

RCBP-Jahu onde é verificado se realmente realizam alguma atividade relativa ao atendimento, exames, internações, etc.; às pessoas residentes no município de Jahu.

## Processamento dos dados

Para digitação e gerenciamento dos dados coletados foi utilizado o sistema BasePopWeb, desenvolvido e distribuído pelo Instituto Nacional de Câncer (INCA).

Os dados do Hospital Amaral Carvalho (HAC), que atende a maioria dos casos de câncer do município, foram fornecidos pelo seu Registro Hospitalar de Câncer (RHC) que gerou arquivos eletrônicos contendo os pacientes residentes no município de Jahu e com diagnóstico de câncer. Esses casos foram revisados, preenchidas as respectivas fichas de notificação e posteriormente cadastrados no BasePopWeb.

No caso dos laboratórios de anatomia patológica, os dados também foram enviados em formato eletrônico (arquivo) o que facilitou a análise e registro dos dados.

Estas duas importantes fontes de notificação, RHC-HAC e laboratórios de anatomia patológica, representam o maior volume de casos informados por incluírem os dois maiores hospitais do município (Hospital Amaral Carvalho e Santa Casa), além dos consultórios médicos. Os casos foram cadastrados utilizando-se a CID-O 3<sup>a</sup> edição (topografia e morfologia) e posteriormente o próprio sistema (BasePopWeb) efetuou a conversão para a CID-10 que foi utilizada na confecção das tabelas e gráficos.

## Referência populacional

Para o cálculo dos coeficientes de incidência, foram utilizadas as estimativas populacionais obtidas através do Departamento de Informática do SUS (DATASUS) e fornecidas pelo Instituto Brasileiro de Geografia e Estatística (IBGE).

As estimativas anuais de população para o município de Jahu, desagregadas por sexo e idade, para o período de 2000 a 2017 foram obtidas das seguintes fontes:

- 2000 a 2013 - estimativas preliminares efetuadas por estudo patrocinado pela Rede Interagencial de Informações para a Saúde - RIPSA;
- 2014 e 2017 - estimativas preliminares elaboradas pelo Ministério da Saúde/SVS/CGIAE.

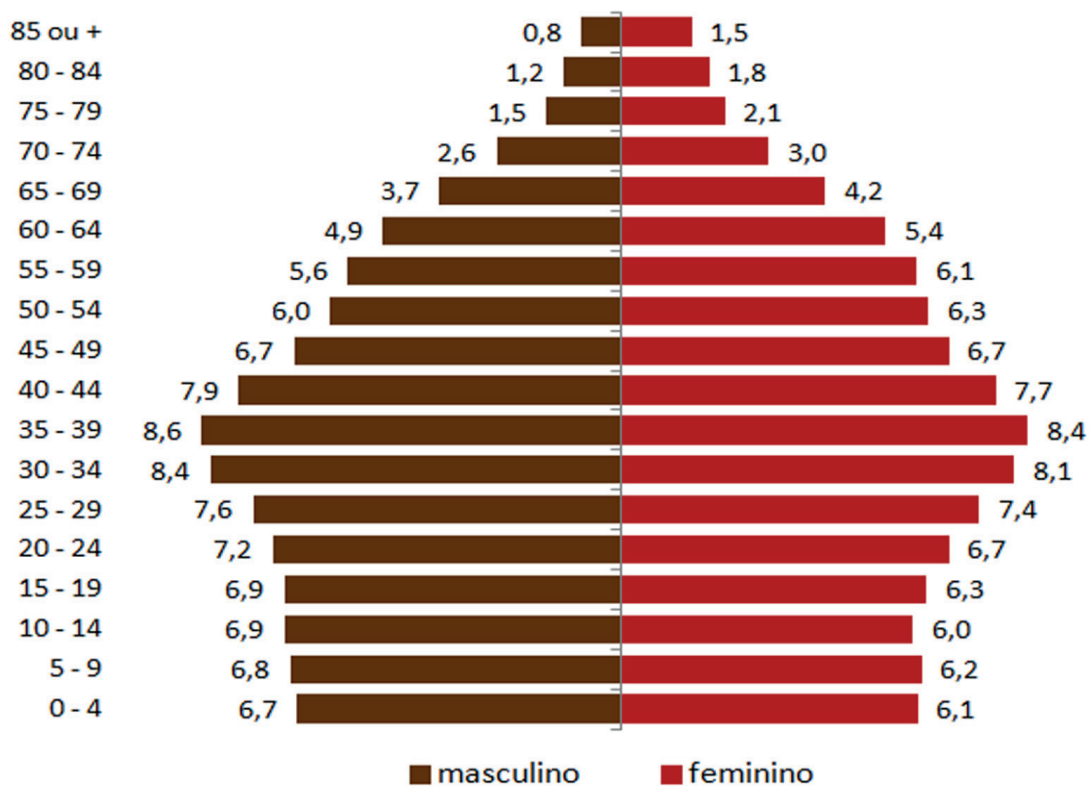
Para os anos de 2018 e 2021 foi utilizada a população do ano de 2020, uma vez que a estimativa com a desagregação necessária não estava disponível (INCA, 2021).

As populações foram classificadas por faixa etária – de zero a 85 anos ou mais, com incremento de 5 anos.

Com a finalidade de demonstrar a estrutura etária do município, foi produzida uma pirâmide populacional com base na população censitária do ano 2020 (gráfico 1 e tabela 1).

A população padrão mundial utilizada foi a proposta por Segi (1960), modificada por Doll et al. (Doll R & Cook P, 1967).

**Gráfico 1 - Pirâmide populacional da cidade de Jahu (%), 2020\***



**Tabela 1 - População residente no município de Jahu, 2020\***

Faixa Etária	Masculino	Feminino	Total
0 a 4 anos	4.949	4.723	9.672
5 a 9 anos	5.062	4.784	9.846
10 a 14 anos	5.144	4.644	9.788
15 a 19 anos	5.146	4.859	10.005
20 a 24 anos	5.326	5.225	10.551
25 a 29 anos	5.626	5.704	11.330
30 a 34 anos	6.282	6.259	12.541
35 a 39 anos	6.407	6.480	12.887
40 a 44 anos	5.851	5.967	11.818
45 a 49 anos	4.994	5.229	10.223
50 a 54 anos	4.455	4.896	9.351
55 a 59 anos	4.186	4.713	8.899
60 a 64 anos	3.652	4.213	7.865
65 a 69 anos	2.784	3.259	6.043
70 a 74 anos	1.902	2.351	4.253
75 a 79 anos	1.145	1.651	2.796
80 a 84 anos	872	1.404	2.276
85 anos ou +	605	1.131	1.736
<b>Total</b>	<b>74.388</b>	<b>77.492</b>	<b>151.880</b>

\* Fonte: IBGE ([www.datasus.gov.br](http://www.datasus.gov.br))

## Comparação com os RCBP's do Brasil

Para comparação entre os coeficientes gerados pelo RCBP-Jahu e os demais RCBP's do Brasil foi utilizado o coeficiente ajustado por idade e padronizado pela população mundial (1960).

As informações sobre os RCBP's do Brasil foram obtidas diretamente no *sítio* do INCA – Vigilância do Câncer e Fatores de Risco (INCA, 2025).

## Métodos estatísticos

Distribuição percentual: corresponde à frequência relativa do número absoluto de casos novos ou óbitos de uma determinada topografia com relação ao total de casos:

$$\text{Percentual} = \frac{\text{Número total de casos ou óbitos de uma determinada topografia}}{\text{Número total de casos ou óbitos}} \times 100$$

Coeficiente bruto de incidência ou mortalidade: corresponde ao risco de ocorrência de casos novos ou óbitos por um evento. Traduz-se pelo quociente entre o total de casos novos ou óbitos e a população sob risco e é normalmente expresso em 100 mil habitantes:

$$\text{Coeficiente bruto de incidência ou mortalidade} = \frac{\text{Número total de casos novos ou óbitos de um evento em um período definido}}{\text{População de referência para o período definido}} \times 100.000$$

Coeficiente específico de incidência ou mortalidade: corresponde ao risco de ocorrência de casos novos ou óbitos por um evento devido a um determinado atributo (idade, sexo, estado conjugal, nível sócio econômico, etc.). Traduz-se pelo quociente entre o total de casos novos ou óbitos, por determinado atributo e a população sob risco. O coeficiente mais utilizado é o por idade:

$$\text{Coeficiente específico de incidência ou mortalidade} = \frac{\text{Número total de casos novos ou óbitos por um evento, por faixa etária, sexo e período determinado}}{\text{População de referência, por faixa etária, sexo e período determinado}} \times 100.000$$

Coeficiente de incidência ou mortalidade ajustado por idade: o ajuste por idade pelo método direto é feito usando-se uma população padrão única, que funciona como um grupo comum de pesos para o cálculo de coeficientes ponderados (também chamados de ajustados ou padronizados). A população padrão utilizada foi a população padrão mundial (Doll & Cook, 1967):

$$\text{Coeficiente ajustado por idade} = \frac{\Sigma (\text{coeficiente específico por idade})}{\Sigma (\text{população padrão mundial na faixa etária})} \times \frac{x}{\Sigma \text{população padrão mundial}} \times 100.000$$

## **Indicadores de qualidade**

**Diagnóstico Histopatológico:** corresponde ao percentual de casos verificados microscopicamente através de exames histológicos, citológicos e hematológicos. Trata-se de um indicador positivo da validade das informações do RCBP apontando que a confirmação do diagnóstico se deu através da análise minuciosa do material retirado.

**Idade Ignorada:** é um indicador da qualidade dos dados do RCBP uma vez que um elevado percentual destes casos interfere no cálculo dos coeficientes específicos (subestimação) e consequentemente, no cálculo dos coeficientes ajustados por idade.

**Localização Primária Desconhecida:** é um indicador de qualidade da informação sobre o diagnóstico. Pode corresponder a uma situação clínica em que o tumor primário regrediu ou desapareceu. Um percentual elevado pode indicar uma má classificação diagnóstica ou a falta de esforço em localizar a doença primária.

**Diagnóstico Somente por Declaração de Óbito (SDO):** identifica os casos notificados somente pela Declaração de Óbito. É um indicador de cobertura que avalia o acesso ao diagnóstico e tratamento, um baixo percentual geralmente indica que, para grande parte dos casos notificados, foi identificado também o diagnóstico histopatológico.

## 4.Apresentação dos dados

Dando continuidade à série histórica dos casos de câncer em residentes em Jahu, nesta edição são apresentadas as informações sobre os casos identificados no período de 2018 a 2021.

No capítulo 5, os dados deste período (2018-2021) serão apresentados sob vários aspectos: número de casos por ano segundo localização dos tumores e sexo, número de casos por faixa etária e sexo, incidência segundo localização dos tumores, sexo e faixa etária; tumores com maior incidência segundo sexo, número de casos e incidência dos tumores infantis (até 19 anos). Ao final, informações sobre os indicadores de qualidade dos dados coletados são apresentados.

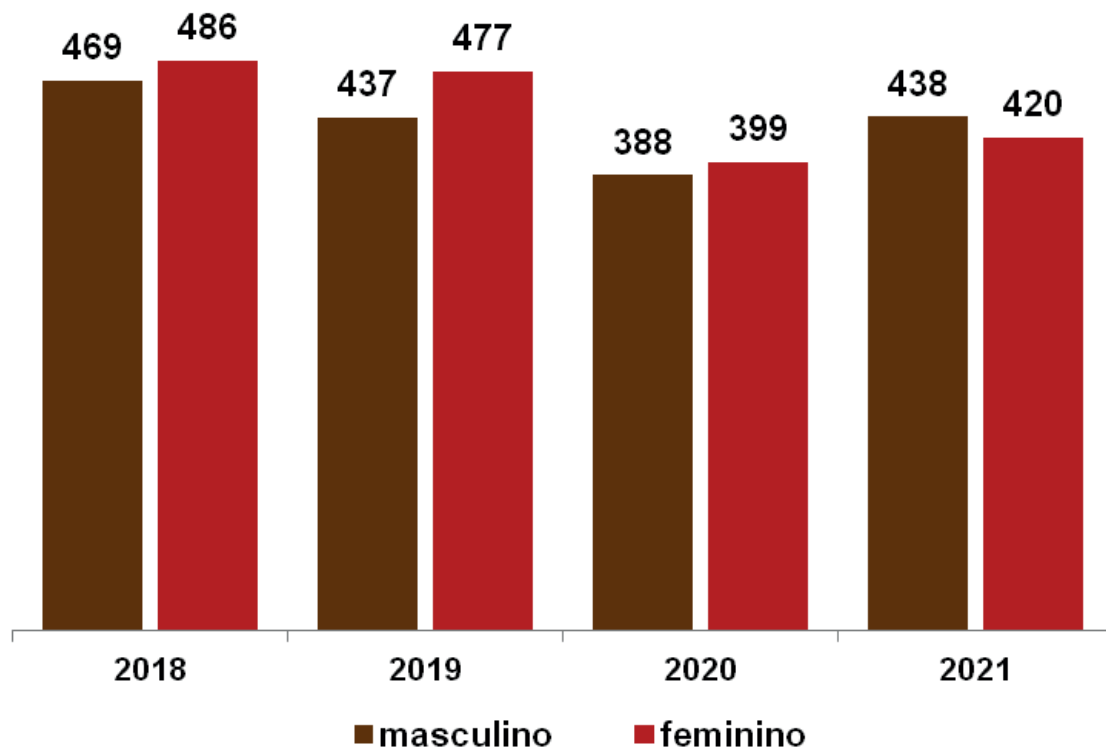
No capítulo 6, os coeficientes de incidência dos principais tumores registrados em Jahu são comparados com informações produzidas por outros 28 Registros de Câncer de Base Populacional brasileiros com dados disponíveis.

## 5.Análise dos casos do período 2018 a 2021

Com a consolidação dos dados do período 2018 a 2021 e para possibilitar a análise dos dados mais recentes registrados pelo RCBP-Jahu, os casos foram agrupados e as principais informações sobre este período serão apresentadas neste capítulo.

No período de 2018 a 2021, foram registrados 3.514 casos de câncer em residentes no município de Jahu (média de 879 casos/ano), 1.732 casos (49,3%) do sexo masculino e 1.782 (50,7%) do sexo feminino. O ano de 2018 foi o que apresentou o maior número de casos registrados (955 casos, considerando ambos os sexos) (gráfico 2).

**Gráfico 2 - Distribuição do número de casos cadastrados segundo ano de diagnóstico e sexo, RCBP-Jahu, 2018 a 2021**



A seguir são apresentadas informações considerando o número de casos por: ano, faixa etária, localização primária do tumor e faixa etária, coeficientes de incidência por localização primária e faixa etária.

**Tabela 2 - Distribuição do número de casos segundo localização do tumor primário e ano de diagnóstico, sexo masculino, RCBP-Jahu, 2018 a 2021**

Localização primária (CID-10)	2018		2019		2020		2021		total	
	f	%	f	%	f	%	f	%	f	%
C00 Lábio	3	0,6	1	0,2	2	0,5	6	1,4	12	0,7
C01 Base da língua	-	-	2	0,5	4	1,0	2	0,5	8	0,5
C02 Outras partes da língua	1	0,2	2	0,5	1	0,3	2	0,5	6	0,3
C03 Gengiva	1	0,2	-	-	-	-	-	-	1	0,1
C04 Assoalho da boca	3	0,6	-	-	-	-	3	0,7	6	0,3
C05 Palato	1	0,2	1	0,2	-	-	1	0,2	3	0,2
C06 Outras partes da boca	-	-	1	0,2	-	-	2	0,5	3	0,2
C09 Amígdala	1	0,2	1	0,2	-	-	-	-	2	0,1
C10 Oorfaringe	-	-	1	0,2	3	0,8	5	1,1	9	0,5
C11 Nasofaringe	-	-	-	-	1	0,3	1	0,2	2	0,1
C12 Seio piriforme	2	0,4	-	-	-	-	-	-	2	0,1
C13 Hipofaringe	1	0,2	1	0,2	2	0,5	-	-	4	0,2
C15 Esôfago	3	0,6	11	2,5	9	2,3	5	1,1	28	1,6
C16 Estômago	7	1,5	10	2,3	12	3,1	10	2,3	39	2,3
C17 Intestino delgado	-	-	1	0,2	3	0,8	-	-	4	0,2
C18 Cônlon	26	5,5	22	5,0	16	4,1	16	3,7	80	4,6
C19 Junção retossigmóide	1	0,2	4	0,9	1	0,3	2	0,5	8	0,5
C20 Reto	11	2,3	12	2,7	12	3,1	12	2,7	47	2,7
C21 Ânus e canal anal	-	-	-	-	1	0,3	-	-	1	0,1
C22 Fígado e vias biliares intra-hepáticas	2	0,4	3	0,7	3	0,8	2	0,5	10	0,6
C24 Outras partes das vias biliares	-	-	1	0,2	1	0,3	1	0,2	3	0,2
C25 Pâncreas	2	0,4	1	0,2	3	0,8	4	0,9	10	0,6
C30 Cavidade nasal	-	-	1	0,2	-	-	-	-	1	0,1
C32 Laringe	5	1,1	2	0,5	6	1,5	11	2,5	24	1,4
C34 Brônquios e pulmões	12	2,6	11	2,5	15	3,9	15	3,4	53	3,1
C38 Coração, mediastino e pleura	-	-	-	-	1	0,3	-	-	1	0,1
C40 Ossos e articulações dos membros	1	0,2	-	-	-	-	-	-	1	0,1
C41 Ossos e articulações de outras localizações	-	-	-	-	1	0,3	1	0,2	2	0,1
C43 Melanoma maligno da pele	5	1,1	6	1,4	4	1,0	6	1,4	21	1,2
C44 Outras neoplasias malignas da pele	246	52,5	223	51,0	156	40,2	198	45,2	823	47,5
C45 Mesotelioma da pleura	1	0,2	1	0,2	-	-	1	0,2	3	0,2
C46 Sarcoma de Kaposi	-	-	-	-	1	0,3	-	-	1	0,1
C49 Tecido conjuntivo e outros tecidos moles	1	0,2	2	0,5	2	0,5	1	0,2	6	0,3
C50 Mama	-	-	1	0,2	1	0,3	-	-	2	0,1
C60 Pênis	2	0,4	1	0,2	1	0,3	1	0,2	5	0,3
C61 Próstata	50	10,7	52	11,9	49	12,6	60	13,7	211	12,2
C62 Testículos	6	1,3	1	0,2	5	1,3	4	0,9	16	0,9
C64 Rim	9	1,9	9	2,1	7	1,8	9	2,1	34	2,0
C65 Pelve renal	-	-	1	0,2	3	0,8	-	-	4	0,2
C66 Ureteres	-	-	-	-	1	0,3	-	-	1	0,1
C67 Bexiga	10	2,1	3	0,7	10	2,6	5	1,1	28	1,6
C69 Olhos e anexos	-	-	-	-	1	0,3	-	-	1	0,1
C70 Meninges cerebrais	-	-	1	0,2	-	-	-	-	1	0,1
C71 Encefalo	3	0,6	2	0,5	3	0,8	1	0,2	9	0,5
C73 Glândula tireóide	3	0,6	2	0,5	4	1,0	2	0,5	11	0,6
C80 Localização primária desconhecida	7	1,5	3	0,7	8	2,1	7	1,6	25	1,4
C81 Doença de Hodgkin	2	0,4	3	0,7	1	0,3	3	0,7	9	0,5
C82 Linfoma não-Hodgkin folicular	-	-	1	0,2	1	0,3	1	0,2	3	0,2
C83 Linfoma não-Hodgkin difuso	5	1,1	3	0,7	9	2,3	4	0,9	21	1,2
C85 Linfoma não-Hodgkin de outros tipos, soe	-	-	-	-	1	0,3	-	-	1	0,1
C90 Mieloma múltiplo	2	0,4	3	0,7	3	0,8	1	0,2	9	0,5
C91 Leucemia linfóide	4	0,9	3	0,7	3	0,8	1	0,2	11	0,6
C92 Leucemia mielóide	1	0,2	1	0,2	-	-	2	0,5	4	0,2
C95 Leucemia de tipo celular não especificado	1	0,2	-	0,0	2	0,5	1	0,2	4	0,2
D46 Síndrome mielodisplásica	-	-	2	0,5	1	0,3	2	0,5	5	0,3
<b>Todas as neoplasias malignas invasoras primárias</b>	<b>441</b>	<b>94,0</b>	<b>413</b>	<b>94,5</b>	<b>374</b>	<b>96,4</b>	<b>411</b>	<b>93,8</b>	<b>1639</b>	<b>94,6</b>
<b>Todas as neoplasias malignas invasoras primárias exceto pele</b>	<b>195</b>	<b>41,6</b>	<b>190</b>	<b>43,5</b>	<b>218</b>	<b>56,2</b>	<b>213</b>	<b>48,6</b>	<b>816</b>	<b>47,1</b>
D00 Carcinoma in situ da cav. oral, esôfago, estômago	-	-	-	-	1	0,3	-	-	1	0,1
D01 Carcinoma in situ de outros órgãos digestivos	-	-	1	0,2	-	-	1	0,2	2	0,1
D02 Carcinoma in situ do ouvido e aparelho respiratório	-	-	-	-	-	-	1	0,2	1	0,1
D03 Melanoma in situ	4	0,9	2	0,5	2	0,5	3	0,7	11	0,6
D04 Carcinoma in situ da pele	14	3,0	14	3,2	8	2,1	16	3,7	52	3,0
D09 Carcinoma in situ de outras localizações, soe	10	2,1	7	1,6	3	0,8	6	1,4	26	1,5
<b>Todas as neoplasias malignas in situ</b>	<b>28</b>	<b>6,0</b>	<b>24</b>	<b>5,5</b>	<b>14</b>	<b>3,6</b>	<b>27</b>	<b>6,2</b>	<b>93</b>	<b>5,4</b>
<b>Todas as neoplasias malignas primárias</b>	<b>469</b>	<b>100,0</b>	<b>437</b>	<b>100,0</b>	<b>388</b>	<b>100,0</b>	<b>438</b>	<b>100,0</b>	<b>1732</b>	<b>100,0</b>

**Tabela 3 - Distribuição do número de casos segundo localização do tumor primário e ano de diagnóstico, sexo feminino, RCBP-Jahu, 2018 a 2021**

Localização primária (CID-10)	2018		2019		2020		2021		total	
	f	%	f	%	f	%	f	%	f	%
C00 Lábio	1	0,2	1	0,2	2	0,5	2	0,5	6	0,3
C02 Outras partes da língua	2	0,4	1	0,2	-	-	-	-	3	0,2
C06 Outras partes da boca	1	0,2	1	0,2	-	-	-	-	2	0,1
C07 Glândula parótida	-	-	-	-	-	-	1	0,2	1	0,1
C10 Oorfaringe	-	-	-	-	-	-	1	0,2	1	0,1
C15 Esôfago	2	0,4	3	0,6	-	-	1	0,2	6	0,3
C16 Estômago	9	1,9	7	1,5	7	1,8	8	1,9	31	1,7
C18 Cólon	17	3,5	22	4,6	23	5,8	19	4,5	81	4,5
C19 Junção retossigmóide	3	0,6	3	0,6	4	1,0	2	0,5	12	0,7
C20 Reto	7	1,4	5	1,0	6	1,5	4	1,0	22	1,2
C22 Fígado e vias biliares intra-hepáticas	1	0,2	1	0,2	1	0,3	1	0,2	4	0,2
C23 Vesícula biliar	2	0,4	-	-	1	0,3	-	-	3	0,2
C24 Outras partes das vias biliares	-	-	1	0,2	3	0,8	-	-	4	0,2
C25 Pâncreas	2	0,4	3	0,6	-	-	8	1,9	13	0,7
C31 Seios da face	1	0,2	1	0,2	-	-	-	-	2	0,1
C32 Laringe	1	0,2	-	-	1	0,3	-	-	2	0,1
C34 Brônquios e pulmões	6	1,2	15	3,1	10	2,5	12	2,9	43	2,4
C40 Ossos e articulações dos membros	1	0,2	-	-	-	-	-	-	1	0,1
C41 Ossos e articulações de outras localizações	-	-	-	-	1	0,3	-	-	1	0,1
C43 Melanoma maligno da pele	3	0,6	6	1,3	7	1,8	8	1,9	24	1,3
C44 Outras neoplasias malignas da pele	244	50,2	224	47,0	163	40,9	177	42,1	808	45,3
C46 Sarcoma de Kaposi	-	-	-	-	1	0,3	-	-	1	0,1
C48 Retroperitônio e peritônio	-	-	1	0,2	-	-	-	-	1	0,1
C49 Tecido conjuntivo e outros tecidos moles	-	-	-	-	2	0,5	-	-	2	0,1
C50 Mama	49	10,1	61	12,8	63	15,8	71	16,9	244	13,7
C51 Vulva	2	0,4	1	0,2	-	-	1	0,2	4	0,2
C53 Colo do útero	6	1,2	6	1,3	10	2,5	6	1,4	28	1,6
C54 Corpo do útero	14	2,9	8	1,7	6	1,5	10	2,4	38	2,1
C56 Ovário	3	0,6	6	1,3	3	0,8	9	2,1	21	1,2
C64 Rim	3	0,6	6	1,3	8	2,0	-	-	17	1,0
C65 Pelve renal	-	-	-	-	-	-	1	0,2	1	0,1
C67 Bexiga	-	-	2	0,4	3	0,8	2	0,5	7	0,4
C71 Encéfalo	3	0,6	4	0,8	2	0,5	4	1,0	13	0,7
C72 Medula espinhal	1	0,2	-	-	-	-	-	-	1	0,1
C73 Glândula tireóide	17	3,5	12	2,5	7	1,8	13	3,1	49	2,7
C74 Glândula supra-renal	1	0,2	-	-	-	-	-	-	1	0,1
C80 Localização primária desconhecida	6	1,2	9	1,9	5	1,3	1	0,2	21	1,2
C81 Doença de Hodgkin	1	0,2	-	-	3	0,8	-	-	4	0,2
C82 Linfoma não-Hodgkin folicular	-	-	-	-	1	0,3	-	-	1	0,1
C83 Linfoma não-Hodgkin difuso	6	1,2	4	0,8	4	1,0	3	0,7	17	1,0
C90 Mieloma múltiplo	1	0,2	2	0,4	3	0,8	3	0,7	9	0,5
C91 Leucemia linfóide	2	0,4	-	-	-	-	-	-	2	0,1
C92 Leucemia mielóide	3	0,6	3	0,6	4	1,0	2	0,5	12	0,7
C93 Leucemia monocítica	-	-	-	-	1	0,3	-	-	1	0,1
C94 Outras leucemias de células de tipo especificado	1	0,2	-	-	-	-	-	-	1	0,1
C95 Leucemia de tipo celular não especificado	4	0,8	2	0,4	2	0,5	1	0,2	9	0,5
D46 Síndrome mielodisplásica	1	0,2	1	0,2	3	0,8	1	0,2	6	0,3
<b>Todas as neoplasias malignas invasoras primárias</b>	<b>427</b>	<b>87,9</b>	<b>422</b>	<b>88,5</b>	<b>360</b>	<b>90,2</b>	<b>372</b>	<b>88,6</b>	<b>1581</b>	<b>88,7</b>
<b>Todas as neoplasias malignas invasoras primárias exceto pele</b>	<b>183</b>	<b>37,7</b>	<b>198</b>	<b>41,5</b>	<b>197</b>	<b>49,4</b>	<b>195</b>	<b>46,4</b>	<b>773</b>	<b>43,4</b>
D03 Melanoma in situ	2	0,4	7	1,5	5	1,3	5	1,2	19	1,1
D04 Carcinoma in situ da pele	23	4,7	18	3,8	9	2,3	17	4,0	67	3,8
D05 Carcinoma in situ da mama	5	1,0	5	1,0	1	0,3	3	0,7	14	0,8
D06 Carcinoma in situ do colo do útero	24	4,9	21	4,4	19	4,8	22	5,2	86	4,8
D07 Carcinoma in situ de outros órgãos genitais	2	0,4	1	0,2	1	0,3	1	0,2	5	0,3
D09 Carcinoma in situ de outras localizações, soe	3	0,6	3	0,6	4	1,0	-	-	10	0,6
<b>Todas as neoplasias malignas in situ</b>	<b>59</b>	<b>12,1</b>	<b>55</b>	<b>11,5</b>	<b>39</b>	<b>9,8</b>	<b>48</b>	<b>11,4</b>	<b>201</b>	<b>11,3</b>
<b>Todas as neoplasias malignas primárias</b>	<b>486</b>	<b>100,0</b>	<b>477</b>	<b>100,0</b>	<b>399</b>	<b>100,0</b>	<b>420</b>	<b>100,0</b>	<b>1782</b>	<b>100,0</b>

As neoplasias malignas da pele (exceto melanoma) foram as mais frequentes em ambos os sexos em todo o período. Em segundo lugar, o câncer de próstata entre os homens e o câncer de mama entre as mulheres. O câncer de cólon foi o terceiro mais

frequente em todo o período com destaque também para os cânceres de brônquios e pulmões e tumores in situ da pele entre os homens. Entre as mulheres, o câncer in situ do colo do útero foi o terceiro mais frequente, destaque também para o câncer de cólon, carcinomas in situ da pele e brônquios e pulmões. (tabelas 4 e 5).

**Tabela 4 - Principais localizações de tumores segundo ano de diagnóstico, sexo masculino, RCBP-Jahu, 2018 a 2021**

Posição	Ano				Período
	2018	2019	2020	2021	
1º	Outras neoplasias malignas da pele (52,5%)	Outras neoplasias malignas da pele (51,0%)	Outras neoplasias malignas da pele (40,2%)	Outras neoplasias malignas da pele (45,2%)	Outras neoplasias malignas da pele (47,5%)
2º	Próstata (10,7%)	Próstata (11,9%)	Próstata (12,6%)	Próstata (13,7%)	Próstata (12,2%)
3º	Cólon (5,5%)	Cólon (5,0%)	Cólon (4,1%)	Cólon (3,7%)	Cólon (4,6%)
4º	Carcinoma in situ da pele (3,0%)	Carcinoma in situ da pele (3,2%)	Brônquios e pulmões (3,9%)	Carcinoma in situ da pele (3,7%)	Brônquios e pulmões (3,1%)
5º	Brônquios e pulmões (2,6%)	Reto (2,7%)	Estômago (3,1%)	Brônquios e pulmões (3,4%)	Carcinoma in situ da pele (3,0%)

**Tabela 5 - Principais localizações de tumores segundo ano de diagnóstico, sexo feminino, RCBP-Jahu, 2018 a 2021**

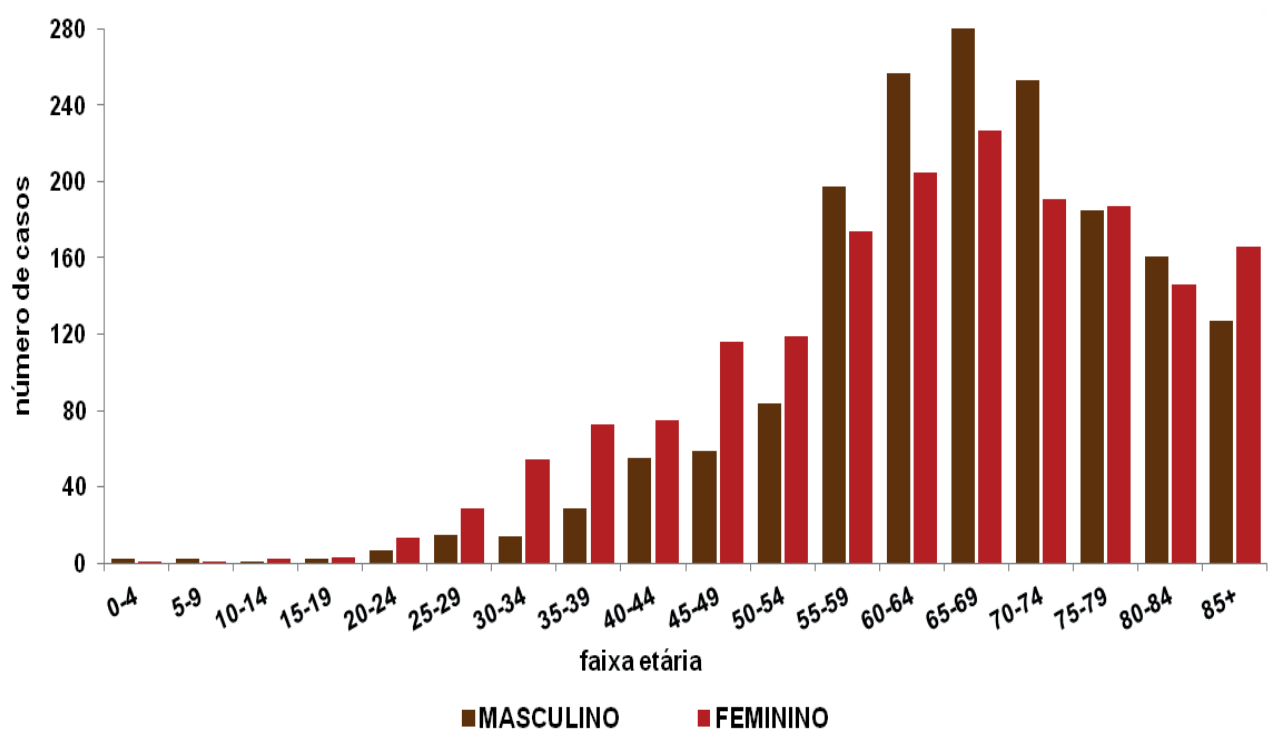
Posição	Ano				Período
	2018	2019	2020	2021	
1º	Outras neoplasias malignas da pele (50,2%)	Outras neoplasias malignas da pele (47,0%)	Outras neoplasias malignas da pele (40,9%)	Outras neoplasias malignas da pele (42,1%)	Outras neoplasias malignas da pele (45,3%)
2º	Mama (10,1%)	Mama (12,8%)	Mama (15,8%)	Mama (16,9%)	Mama (13,7%)
3º	Carcinoma in situ do Colo do Útero (4,9%)	Cólon (4,6%)	Cólon (5,8%)	Carcinoma in situ do Colo do Útero (5,2%)	Carcinoma in situ do Colo do Útero (4,8%)
4º	Carcinoma in situ da pele (4,7%)	Carcinoma in situ do Colo do Útero (4,4%)	Carcinoma in situ do Colo do Útero (4,8%)	Cólon (4,5%)	Cólon (4,5%)
5º	Cólon (3,5%)	Carcinoma in situ da pele (3,8%)	Brônquios e pulmões (2,5%)	Carcinoma in situ da pele (4,0%)	Carcinoma in situ da pele (3,8%)

## 5.a.Análise segundo faixa etária

Para o sexo masculino, o maior número de casos (todas as localizações) ocorreu na faixa etária 65 a 69 anos (282 casos, 16,3%). Para o câncer de próstata, 80,6% dos casos ocorreram na faixa etária a partir dos 60 anos (gráfico 3 e tabela 6).

No sexo feminino, a faixa etária mais frequente (todas as localizações) foi 65 a 69 anos (227 casos, 12,7%). O câncer de mama invasivo (C50) ocorreu em maior número na faixa etária entre 55 e 69 anos (40,2%). Para o câncer in situ do colo do útero (D06), 62,8% dos casos ocorreram entre 25 e 39 anos de idade (gráfico 3 e tabela 7).

**Gráfico 3 - Distribuição dos casos cadastrados segundo faixa etária e sexo, RCBP-Jahu, 2018 a 2021**



**Tabela 6 - Distribuição do número de casos segundo localização do tumor primário e faixa etária, sexo masculino, RCBP-Jahu, 2018 a 2021**

Localização Primária (CID-10)	Total	%	Faixa etária																		
			Ign.	0-	5-	10-	15-	20-	25-	30-	35-	40-	45-	50-	55-	60-	65-	70-	75-	80-	85+
C00 Lábio	12	0,7	-	-	-	-	-	-	-	-	1	-	1	2	-	3	2	1	2	-	
C01 Base da língua	8	0,5	-	-	-	-	-	-	-	-	1	-	2	2	1	1	1	-	-	-	
C02 Outras partes da língua	6	0,3	-	-	-	-	-	-	1	-	1	-	-	1	-	1	1	-	-	1	
C03 Gengiva	1	0,1	-	-	-	-	-	-	-	-	-	-	-	-	-	-	-	-	1	-	
C04 Assoalho da boca	6	0,3	-	-	-	-	-	-	-	-	-	-	-	1	1	2	2	-	-	-	
C05 Palato	3	0,2	-	-	-	-	-	-	-	-	-	-	-	-	1	1	1	-	-	-	
C06 Outras partes da boca	3	0,2	-	-	-	-	-	-	-	-	-	-	-	-	2	-	-	1	-	-	
C09 Amígdala	2	0,1	-	-	-	-	-	-	-	-	-	-	-	1	-	1	-	-	-	-	
C10 Orofaringe	9	0,5	-	-	-	-	-	-	-	-	-	-	-	-	1	4	2	1	1	-	
C11 Nasofaringe	2	0,1	-	-	-	-	-	-	-	-	1	-	-	-	-	1	-	-	-	-	
C12 Seio piriforme	2	0,1	-	-	-	-	-	-	-	-	-	-	-	1	1	-	-	-	-	-	
C13 Hipofaringe	4	0,2	-	-	-	-	-	-	-	-	-	-	-	-	-	1	1	1	1	-	
C15 Esôfago	28	1,6	-	-	-	-	-	-	-	-	-	-	-	2	2	3	12	3	2	1	2
C16 Estômago	39	2,3	-	-	-	-	-	-	-	-	1	4	1	-	3	6	10	6	4	2	2
C17 Intestino delgado	4	0,2	-	-	-	-	-	-	1	-	-	-	3	-	-	-	-	-	-	-	-
C18 Côlon	80	4,6	-	-	-	-	-	-	-	1	2	3	3	8	12	19	11	11	5	5	
C19 Junção retossigmoide	8	0,5	-	-	-	-	-	-	-	-	-	1	-	3	1	-	1	-	2	-	
C20 Reto	47	2,7	-	-	-	-	-	-	1	-	4	3	3	5	11	4	5	4	4	3	
C21 Ânus e canal anal	1	0,1	-	-	-	-	-	-	-	-	-	-	-	-	1	-	-	-	-	-	
C22 Fígado e vias biliares intra-hepáticas	10	0,6	-	-	-	-	-	-	-	-	-	-	-	1	2	5	1	1	-	-	
C24 Outras partes das vias biliares	3	0,2	-	-	-	-	-	-	-	-	-	-	-	1	-	2	-	-	-	-	
C25 Pâncreas	10	0,6	-	-	-	-	-	-	-	-	-	-	-	-	3	2	2	-	1	1	
C30 Cavidade nasal	1	0,1	-	-	-	-	-	-	-	-	-	-	-	-	-	1	-	-	-	-	
C32 Laringe	24	1,4	-	-	-	-	-	-	-	-	-	-	-	1	3	11	3	4	2	-	
C34 Brônquios e pulmões	53	3,1	-	-	-	-	-	-	-	-	-	-	-	1	-	9	11	14	9	5	2
C38 Coração, mediastino e pleura	1	0,1	-	-	-	-	-	-	-	-	-	-	-	-	-	1	-	-	-	-	
C40 Ossos e articulações dos membros	1	0,1	-	-	-	-	-	-	-	-	-	-	-	-	1	-	-	-	-	-	
C41 Ossos e articulações de outras localizações	2	0,1	-	-	-	-	-	-	-	-	-	-	-	-	-	1	-	-	1	-	
C43 Melanoma maligno da pele	21	1,2	-	-	-	-	-	-	-	-	3	-	6	4	2	2	1	1	-	-	
C44 Outras neoplasias malignas da pele	823	47,5	-	-	-	-	-	1	1	4	12	23	26	34	93	102	113	127	100	100	87
C45 Mesotelioma da pleura	3	0,2	-	-	-	-	-	-	-	1	-	-	-	-	-	1	1	-	-	-	
C46 Sarcoma de Kaposi	1	0,1	-	-	-	-	-	-	-	-	-	-	-	-	-	1	-	-	-	-	
C49 Tecido conjuntivo e outros tecidos moles	6	0,3	-	-	-	-	-	-	-	1	-	-	3	-	1	-	1	-	-	-	
C50 Mama	2	0,1	-	-	-	-	-	-	-	-	-	-	-	-	-	-	-	1	1	-	
C60 Pênis	5	0,3	-	-	-	-	-	-	-	-	-	1	-	-	-	-	-	1	1	2	
C61 Próstata	211	12,2	-	-	-	-	-	-	-	-	-	1	3	10	27	35	58	44	18	7	8
C62 Testículos	16	0,9	-	-	-	-	-	3	7	-	5	-	1	-	-	-	-	-	-	-	
C64 Rim	34	2,0	-	-	1	-	-	-	-	1	2	5	1	3	7	3	6	3	1	1	
C65 Pelve renal	4	0,2	-	-	-	-	-	-	-	-	-	-	-	1	-	1	1	-	1	-	
C66 Ureteres	1	0,1	-	-	-	-	-	-	-	-	-	-	-	-	-	-	-	1	-	-	
C67 Bexiga	28	1,6	-	-	-	-	-	-	-	-	-	2	-	-	-	5	4	5	5	4	
C69 Olhos e anexos	1	0,1	-	1	-	-	-	-	-	-	-	-	-	-	-	-	-	-	-	-	
C70 Meninges cerebrais	1	0,1	-	-	-	-	-	-	-	-	-	-	-	-	-	1	-	-	-	-	
C71 Encefalo	9	0,5	-	-	1	-	-	1	-	-	2	-	1	-	-	2	2	-	-	-	
C73 Glândula tireóide	11	0,6	-	-	-	-	-	1	3	1	1	1	2	-	1	-	-	-	-	-	
C80 Localização primária desconhecida	25	1,4	-	-	-	-	-	-	-	-	-	-	-	1	1	6	5	4	5	2	
C81 Doença de Hodgkin	9	0,5	-	-	1	-	1	2	1	2	-	-	-	-	-	1	-	1	-	-	
C82 Linfoma não-Hodgkin folicular	3	0,2	-	-	-	-	-	-	-	-	-	-	-	-	2	1	-	-	-	-	
C83 Linfoma não-Hodgkin difuso	21	1,2	-	-	-	-	1	-	-	1	1	1	3	3	2	3	2	1	-	3	
C85 Linfoma não-Hodgkin de outros tipos, soe	1	0,1	-	-	-	-	-	-	-	-	-	-	-	-	-	-	-	-	1	-	
C90 Mieloma múltiplo	9	0,5	-	-	-	-	-	-	-	1	1	1	2	1	-	-	2	-	1	-	
C91 Leucemia linfóide	11	0,6	-	1	-	-	-	-	1	1	-	-	1	-	2	-	3	2	-	-	
C92 Leucemia mielóide	4	0,2	-	-	-	-	-	-	-	-	-	-	1	1	-	1	-	-	1		
C95 Leucemia de tipo celular não especificado	4	0,2	-	-	-	-	-	-	-	-	1	-	-	-	1	-	-	2	-	-	
D46 Síndrome mielodisplásica	5	0,3	-	-	-	-	-	-	-	-	-	-	-	-	-	-	3	1	1	-	
Todas as neoplasias malignas invasoras primárias	1639	94,6	-	2	2	1	2	7	15	12	28	53	54	82	188	247	270	243	171	146	116
Todas as neoplasias malignas invasoras primárias exceto pele	816	47,1	-	2	2	1	2	6	14	8	16	30	28	48	95	145	157	116	71	46	29
D00 Carcinoma in situ da cav. oral, esôfago, - estômago	1	0,1	-	-	-	-	-	-	-	-	-	-	-	-	-	-	-	-	-	1	
D01 Carcinoma in situ de outros órgãos digestivos	2	0,1	-	-	-	-	-	-	-	-	-	-	-	-	-	-	1	-	1	-	
D02 LARINGE	1	0,1	-	-	-	-	-	-	-	-	-	-	-	-	-	-	1	-	-	-	
D03 Melanoma in situ	11	0,6	-	-	-	-	-	-	-	1	-	-	-	1	-	1	5	-	1	2	
D04 Carcinoma in situ da pele	52	3,0	-	-	-	-	-	-	-	-	1	2	3	1	6	5	3	8	9	6	
D09 Carcinoma in situ de outras localizações, soe	26	1,5	-	-	-	-	-	-	-	1	-	-	2	-	3	4	2	2	3	6	
Todas as neoplasias malignas in situ	93	5,4	-	0	0	0	0	0	0	2	1	2	5	2	9	10	12	10	14	15	11
Todas as neoplasias malignas primárias	1732	100,0	-	2	2	1	2	7	15	14	29	55	59	84	197	257	282	253	185	161	127

**Tabela 7 - Distribuição do número de casos segundo localização do tumor primário e faixa etária, sexo feminino, RCBP-Jahu, 2018 a 2021**

Localização Primária (CID-10)	Total	%	Faixa etária																		
			Ign.	0-	5-	10-	15-	20-	25-	30-	35-	40-	45-	50-	55-	60-	65-	70-	75-	80-	85+
C00 Lábio	6	0,3	-	-	-	-	-	-	-	-	-	1	-	1	-	-	3	-	1	-	
C02 Outras partes da língua	3	0,2	-	-	-	-	-	-	-	-	-	1	-	-	1	-	1	-	-	-	
C06 Outras partes da boca	2	0,1	-	-	-	-	-	-	-	-	-	-	-	-	-	-	-	-	-	2	
C07 Glândula parótida	1	0,1	-	-	-	-	-	-	-	-	-	-	-	-	1	-	-	-	-	-	
C10 Oropharinge	1	0,1	-	-	-	-	-	-	-	-	-	-	-	-	-	-	1	-	-	-	
C15 Esôfago	6	0,3	-	-	-	-	-	-	-	-	-	-	-	-	2	-	-	3	1	1	
C16 Estômago	31	1,7	-	-	-	-	-	-	-	-	2	1	1	-	6	5	6	2	3	3	
C18 Cônlon	81	4,5	-	-	-	-	1	-	-	-	3	1	5	4	7	13	14	12	10	2	
C19 Junção retossigmóide	12	0,7	-	-	-	-	-	-	-	1	-	2	1	2	-	2	2	-	1	-	
C20 Reto	22	1,2	-	-	-	-	-	-	-	1	1	1	3	2	3	3	3	2	-	-	
C22 Fígado e vias biliares intra-hepáticas	4	0,2	-	-	-	-	-	-	-	-	-	-	-	-	1	1	1	-	1	-	
C23 Vesícula biliar	3	0,2	-	-	-	-	-	-	-	-	-	-	-	-	-	-	1	-	1	1	
C24 Outras partes das vias biliares	4	0,2	-	-	-	-	-	-	-	-	-	-	-	-	1	-	1	1	-	1	
C25 Pâncreas	13	0,7	-	-	-	-	-	-	-	-	-	-	-	-	1	3	3	-	2	1	
C31 Seios da face	2	0,1	-	-	-	-	-	-	-	-	-	-	-	-	1	-	-	-	1	-	
C32 Laringe	2	0,1	-	-	-	-	-	-	-	-	-	-	-	-	-	-	1	-	1	-	
C34 Brônquios e pulmões	43	2,4	-	-	-	-	-	-	-	-	-	1	2	5	7	8	7	6	4	2	
C40 Ossos e articulações dos membros	1	0,1	-	-	-	-	-	-	-	-	-	-	-	-	-	-	-	-	-	-	
C41 Ossos e articulações de outras localizações	1	0,1	-	-	-	1	-	-	-	-	-	-	-	-	-	-	-	-	-	-	
C43 Melanoma maligno da pele	24	1,3	-	-	-	-	-	-	-	1	3	1	4	2	3	4	2	-	1	3	
C44 Outras neoplasias malignas da pele	808	45,3	-	-	-	-	-	1	4	6	14	16	42	49	70	81	100	107	118	94	
C46 Sarcoma de Kaposi	1	0,1	-	-	-	-	-	-	-	-	-	-	-	-	-	-	-	-	-	1	
C48 Retroperitônio e peritônio	1	0,1	-	-	-	-	-	-	-	-	-	-	-	1	-	-	-	-	-	-	
C49 Tecido conjuntivo e outros tecidos moles	2	0,1	-	-	-	-	-	-	-	-	1	-	-	-	-	-	-	-	-	-	
C50 Mama	244	13,7	-	-	-	-	-	2	10	15	20	24	27	30	35	33	33	17	10	12	
C51 Vagina	4	0,2	-	-	-	-	-	-	-	1	-	-	-	-	-	1	1	-	-	1	
C53 Colo do útero	28	1,6	-	-	-	-	-	2	5	2	3	4	4	2	4	1	1	-	-	-	
C54 Corpo do útero	38	2,1	-	-	-	-	-	-	-	-	-	4	3	6	9	9	1	2	2	2	
C56 Ovário	21	1,2	-	-	-	1	-	-	2	-	1	2	1	1	6	1	5	1	-	-	
C64 Rim	17	1,0	-	-	-	-	-	-	-	-	2	1	2	-	1	9	-	1	1	-	
C65 Pelve renal	1	0,1	-	-	-	-	-	-	-	-	-	-	-	-	-	-	-	-	1	-	
C67 Bexiga	7	0,4	-	-	-	-	-	1	-	-	-	-	-	-	2	3	-	1	-	-	
C71 Encéfalo	13	0,7	-	-	-	-	-	-	1	-	-	1	-	4	1	1	1	2	1	1	
C72 Medula espinhal	1	0,1	-	-	1	-	-	-	-	-	-	-	-	-	-	-	-	-	-	-	
C73 Glândula tireóide	49	2,7	-	-	-	-	2	2	2	5	5	7	3	4	8	8	2	1	-	-	
C74 Glândula supra-renal	1	0,1	-	-	-	-	-	-	-	-	-	-	-	-	-	-	1	-	-	-	
C80 Localização primária desconhecida	21	1,2	-	-	-	-	-	-	-	-	-	1	1	2	2	2	-	6	2	3	
C81 Doença de Hodgkin	4	0,2	-	-	-	-	-	-	3	-	-	1	-	-	-	-	-	-	-	-	
C82 Linfoma não-Hodgkin folicular	1	0,1	-	-	-	-	-	-	-	-	-	-	-	-	-	-	1	-	-	-	
C83 Linfoma não-Hodgkin difuso	17	1,0	-	-	-	-	-	1	-	-	1	2	-	-	2	3	3	3	-	1	
C90 Mieloma múltiplo	9	0,5	-	-	-	-	-	-	-	-	-	-	1	1	1	1	2	-	1	2	
C91 Leucemia linfóide	2	0,1	-	-	-	-	-	-	-	-	-	1	-	-	1	-	-	-	-	-	
C92 Leucemia mielóide	12	0,7	1	-	-	-	-	-	1	-	-	2	3	-	-	2	-	-	2	1	
C93 Leucemia monocítica	1	0,1	-	-	-	-	-	-	-	-	-	-	1	-	-	-	-	-	-	-	
C94 Outras leucemias de células de tipo especificado	1	0,1	-	-	-	-	-	-	-	-	1	-	-	-	-	-	-	-	-	-	
C95 Leucemia de tipo celular não especificado	9	0,5	-	-	-	-	-	-	-	-	1	1	-	2	-	1	2	2	-	-	
D46 Síndrome mielodisplásica	6	0,3	-	-	-	-	-	-	-	-	-	-	-	-	-	-	-	1	3	1	
<b>Todas as neoplasias malignas invasoras primárias</b>	<b>1581</b>	<b>88,7</b>	-	1	1	2	3	4	11	36	49	61	105	112	162	193	211	179	167	134	150
<b>Todas as neoplasias malignas invasoras primárias exceto pele</b>	<b>773</b>	<b>43,4</b>	-	1	1	2	3	3	7	30	35	45	63	63	92	112	111	72	49	40	44
D03 Melanoma in situ	19	1,1	-	-	-	-	-	-	-	-	2	2	1	2	1	2	4	2	1	2	-
D04 Carcinoma in situ da pele	67	3,8	-	-	-	-	-	-	-	-	2	2	3	1	3	4	7	9	15	6	15
D05 Carcinoma in situ da mama	14	0,8	-	-	-	-	-	-	-	-	1	2	2	3	2	1	1	-	1	1	-
D06 Carcinoma in situ do colo do útero	86	4,8	-	-	-	-	-	-	9	18	17	19	8	5	-	3	2	3	-	2	-
D07 Carcinoma in situ de outros órgãos genitais	5	0,3	-	-	-	-	-	-	-	-	1	-	-	-	2	1	1	-	-	-	-
D09 Carcinoma in situ de outras localizações, soe	10	0,6	-	-	-	-	-	-	-	-	-	-	-	1	1	2	-	1	1	3	1
<b>Todas as neoplasias malignas in situ</b>	<b>201</b>	<b>11,3</b>	-	0	0	0	0	9	18	18	24	14	11	7	12	12	16	12	20	12	16
<b>Todas as neoplasias malignas primárias</b>	<b>1782</b>	<b>100,0</b>	-	1	1	2	3	13	29	54	73	75	116	119	174	205	227	191	187	146	166

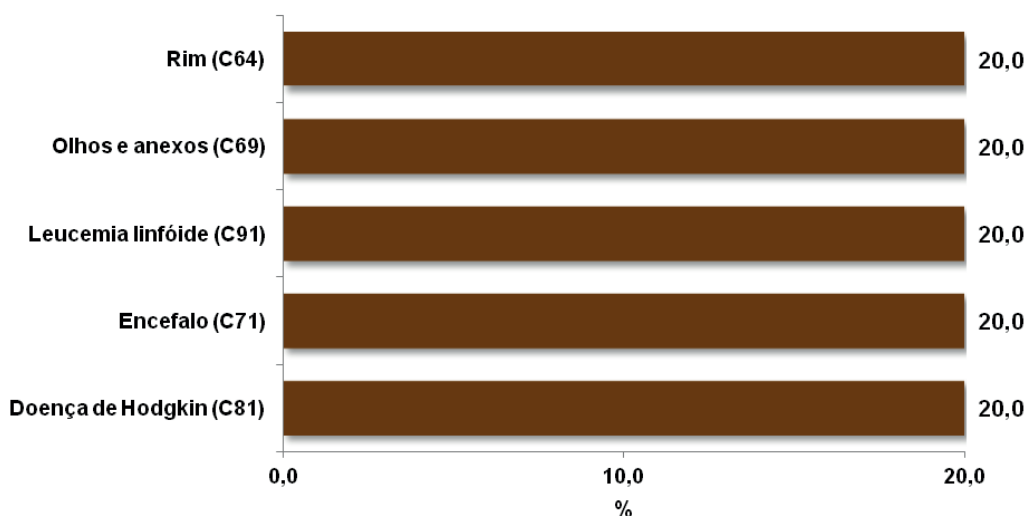
Analizando-se as principais localizações de tumores em quatro grupos etários distintos (0 a 14 anos, 15 a 39 anos, 40 a 64 anos e 65 anos ou mais) verificou-se variações na posição dessas localizações. Para o sexo masculino, na faixa etária até os 14 anos, tivemos um caso para cada um desses tumores: tumores do encéfalo (20%), leucemias linfoides (20%), doença de Hodgkin (20%), olhos e anexos (20%) e rim (20%) (gráfico 4).

A partir dos 15 anos, prevaleceram os tumores malignos da pele (exceto melanoma). Entre os 15 e 39 anos, além dos tumores malignos da pele (26,9%), os tumores de testículo (22,4 %), doença de Hodgkin (9,0%) e glândula tireóide (9,0%); foram os mais frequentes (gráfico 5).

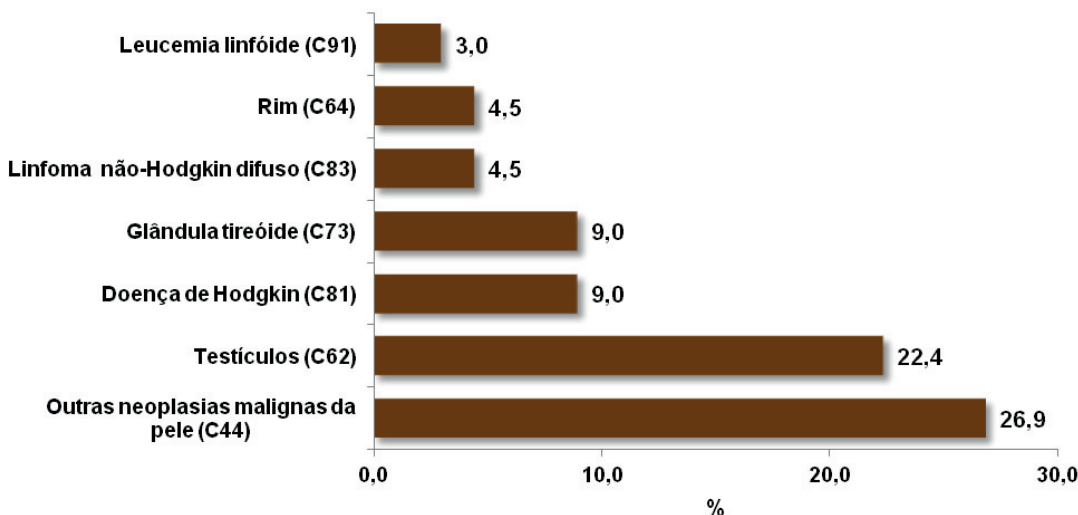
Entre os homens com idade entre 40 e 64 anos, além dos tumores malignos da pele (exceto melanoma) (42,6%), os tumores da próstata (11,7%), cólon (4,3%), reto (4,0%) e brônquios e pulmões (3,2%), foram os mais frequentes (gráfico 6).

A partir dos 65 anos, a maioria dos diagnósticos foi de neoplasias da pele (exceto melanoma) (52,3%). Em seguida, vieram os tumores da próstata (13,4%), cólon (5,1%), carcinomas in situ da pele (3,4%), brônquios e pulmões (3,2%), estômago (2,4%) e bexiga (2,1%) (gráfico 7).

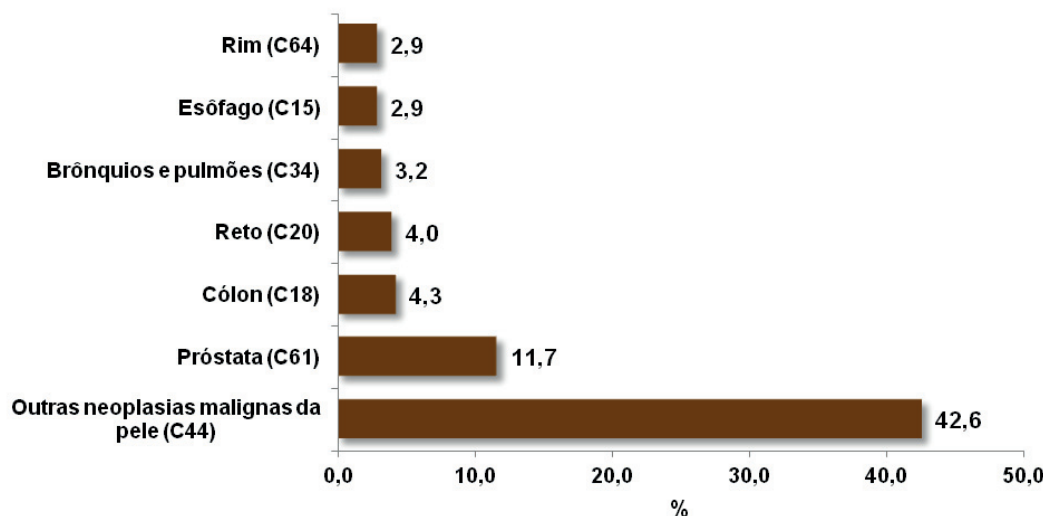
**Gráfico 4 - Principais localizações de tumores na faixa etária até 14 anos, sexo masculino, RCBP-Jahu, 2018 a 2021 (5 casos)**



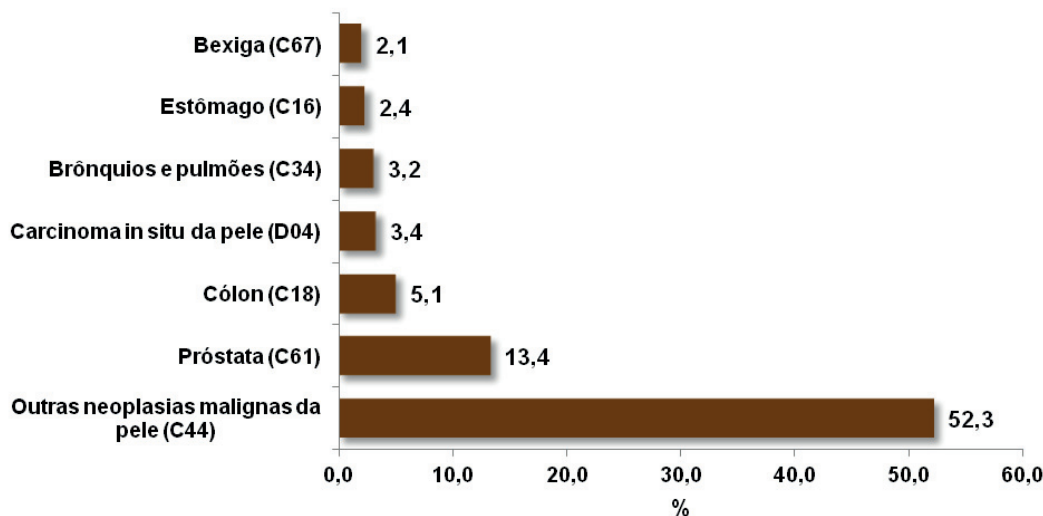
**Gráfico 5 - Principais localizações de tumores na faixa etária entre 15 e 39 anos, sexo masculino, RCBP-Jahu, 2018 a 2021 (67 casos)**



**Gráfico 6 - Principais localizações de tumores na faixa etária entre 40 e 64 anos, sexo masculino, RCBP-Jahu, 2018 a 2021 (652 casos)**

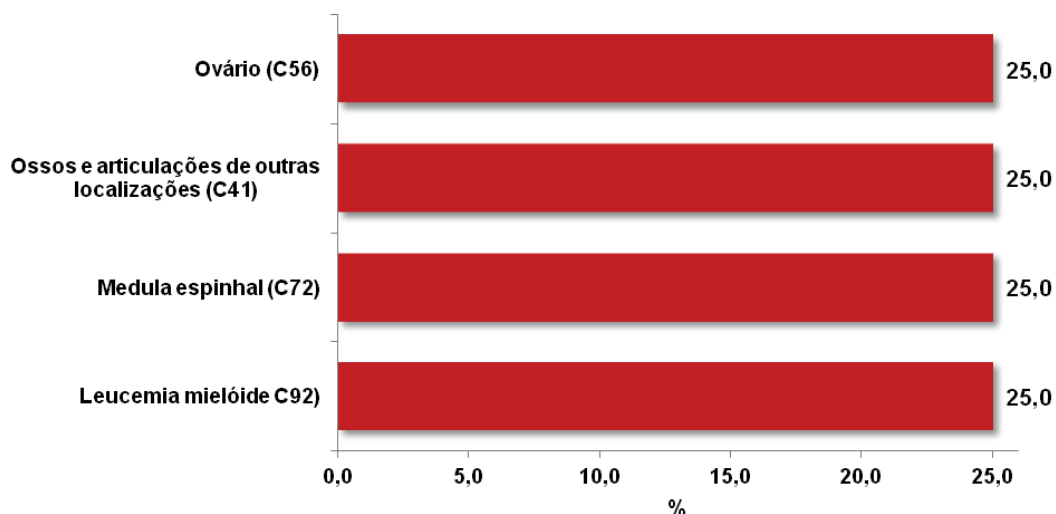


**Gráfico 7 - Principais localizações de tumores na faixa etária a partir dos 65 anos, sexo masculino, RCBP-Jahu, 2018 a 2021 (1008 casos)**

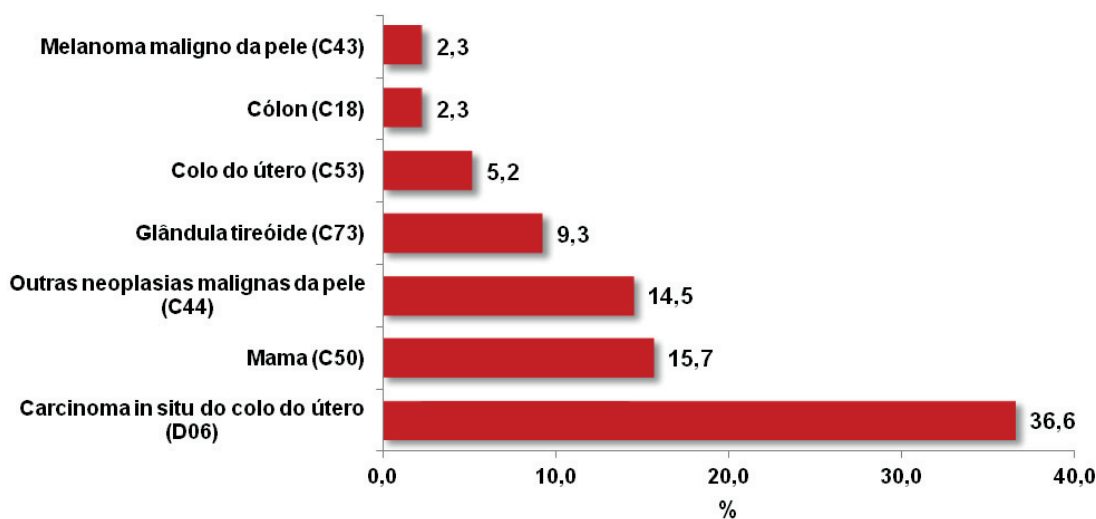


No sexo feminino, na faixa etária até os 14 anos, tivemos um caso para cada um desses tumores: leucemias mieloides (25%), medula espinhal (25%), ossos e articulações de outras localizações (25%) e ovário (25%) (gráfico 8). Na faixa etária entre 15 e 39 anos, o carcinoma in situ do colo do útero foi o mais frequente com 36,6% dos casos, seguido pelos tumores de mama (15,7%), pele não melanoma (14,5%), glândula tireóide (9,3%), colo do útero (5,2%), cólon (2,3%) e melanoma maligno da pele (2,3%) (gráfico 9). Já a partir dos 40 anos, os tumores de pele não melanoma foram os mais frequentes (37,4%) na faixa etária entre 40 e 64 anos e 57,3% na faixa etária a partir dos 65 anos seguidos pelos tumores de mama (19,7% e 8,8%, respectivamente) (gráficos 10 e 11).

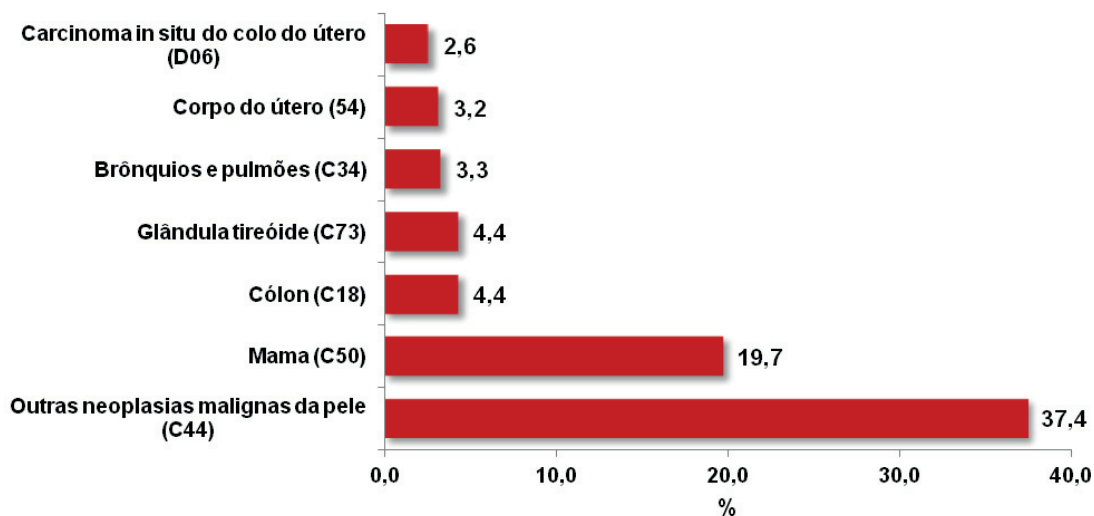
**Gráfico 8 - Principais localizações de tumores na faixa etária até 14 anos, sexo feminino, RCBP-Jahu, 2018 a 2021 (4 casos)**



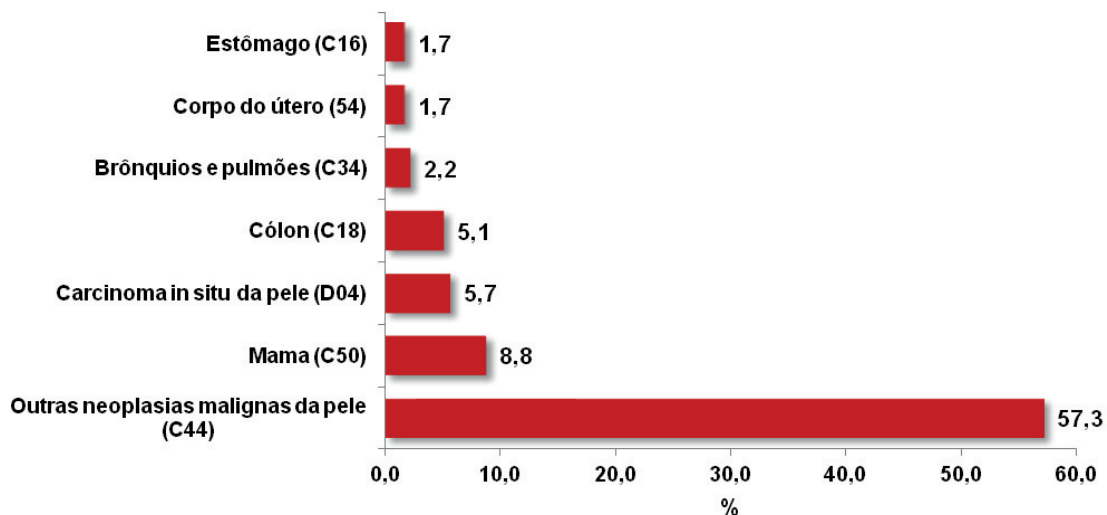
**Gráfico 9 - Principais localizações de tumores na faixa etária entre 15 e 39 anos, sexo feminino, RCBP-Jahu, 2018 a 2021 (172 casos)**



**Gráfico 10 - Principais localizações de tumores na faixa etária entre 40 e 64 anos, sexo feminino, RCBP-Jahu, 2018 a 2021 (689 casos)**



**Gráfico 11 - Principais localizações de tumores na faixa etária a partir dos 65 anos, sexo feminino, RCBP-Jahu, 2018 a 2021 (917 casos)**

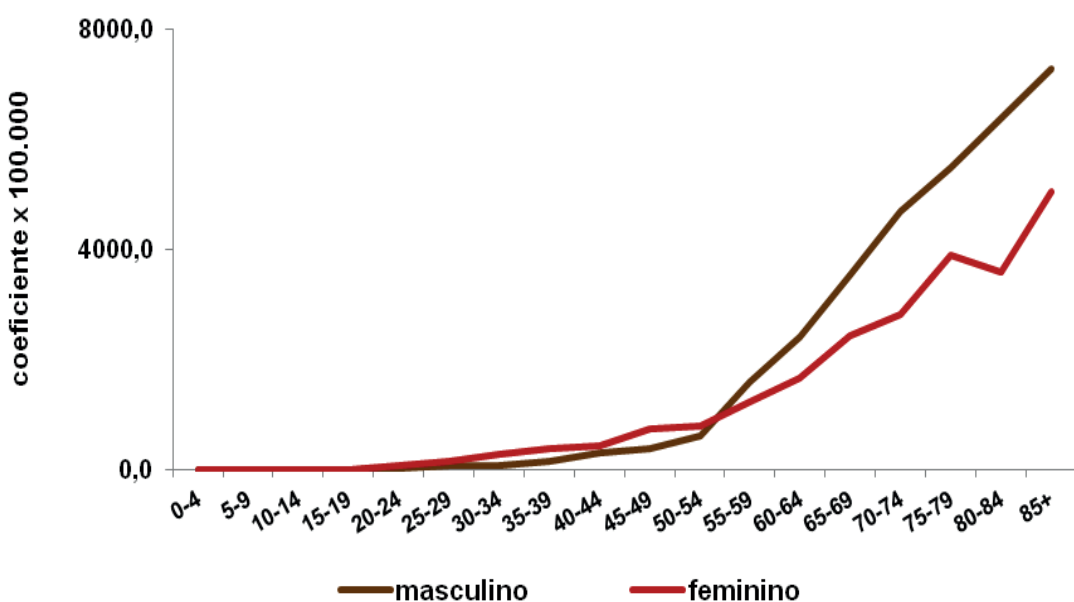


## 5.b.Análise segundo incidência

No sexo masculino, o maior coeficiente específico por idade, considerando o total de casos, ocorreu na faixa etária a partir dos 85 anos ( $7.261,3/100$  mil) seguida da faixa etária entre 80 e 84 anos ( $6.378,8/100$  mil), gráfico 12 e tabela 8.

O maior coeficiente específico por idade no sexo feminino, considerando todos os casos, ocorreu na faixa a partir do 85 anos ( $5.047,1/100$  mil) seguida pelos casos com idade entre 75 e 79 anos ( $3.890,2/100$  mil). No câncer de mama, o maior coeficiente ocorreu na faixa etária entre 65 e 69 anos ( $352,7/100$  mil). O câncer invasivo do colo do útero apresentou o maior coeficiente de incidência na faixa etária entre 60 a 64 anos ( $32,8/100$  mil) enquanto aqueles considerados iniciais (in situ), a faixa etária entre 25 e 29 anos foi a que apresentou o maior coeficiente ( $104,4/100$  mil), gráfico 12 e tabela 9.

**Gráfico 12 - Coeficientes de incidência específicos por idade (todas as localizações), por 100 mil, segundo faixa etária e sexo, RCBP-Jahu, 2018 a 2021**



**Tabela 8 - Coeficientes de incidência, específicos por idade, brutos e ajustados\*; por 100 mil homens, segundo localização primária e faixa etária, RCBP-Jahu, 2018 a 2021**

Localização primária (CID-10)	Coeficientes específicos por faixa etária																		Coef. Bruto	Coef. Ajust.*	
	0-	5-	10-	15-	20-	25-	30-	35-	40-	45-	50-	55-	60-	65-	70-	75-	80-	85+			
C00 Lábio	-	-	-	-	-	-	-	-	5,9	-	7,5	16,2	-	37,5	37,1	29,6	79,2	-	5,4	3,9	
C01 Base da língua	-	-	-	-	-	-	-	-	5,9	-	15,0	16,2	9,4	12,5	18,6	-	-	-	3,6	2,9	
C02 Outras partes da língua	-	-	-	-	-	5,9	-	5,3	-	-	7,5	-	9,4	12,5	-	-	39,6	-	2,7	2,1	
C03 Gengiva	-	-	-	-	-	-	-	-	-	-	-	-	-	-	-	29,7	-	-	0,5	0,3	
C04 Assoloelho da boca	-	-	-	-	-	-	-	-	-	-	7,5	8,1	18,8	25,0	-	-	-	-	2,7	2,2	
C05 Palato	-	-	-	-	-	-	-	-	-	-	-	-	9,4	12,5	18,6	-	-	-	1,4	1,1	
C06 Outras partes da boca	-	-	-	-	-	-	-	-	-	-	-	-	18,8	-	-	29,7	-	-	1,4	1,1	
C09 Amígdala	-	-	-	-	-	-	-	-	-	-	7,5	-	9,4	-	-	-	-	-	0,9	0,8	
C10 Orofaringe	-	-	-	-	-	-	-	-	-	-	-	8,1	37,6	25,0	18,6	29,7	-	-	4,1	3,3	
C11 Nasofaringe	-	-	-	-	-	-	-	5,3	-	-	-	-	-	12,5	-	-	-	-	0,9	0,7	
C12 Seio piriforme	-	-	-	-	-	-	-	-	-	-	7,5	8,1	-	-	-	-	-	-	0,9	0,7	
C13 Hipofaringe	-	-	-	-	-	-	-	-	-	-	-	-	9,4	12,5	18,6	29,7	-	-	1,8	1,4	
C15 Esôfago	-	-	-	-	-	-	-	-	-	13,6	15,0	24,2	112,8	37,5	37,1	29,7	79,2	57,2	12,7	9,9	
C16 Estômago	-	-	-	-	-	-	-	5,3	23,5	6,8	-	24,2	56,4	125,1	111,3	118,6	79,2	114,4	17,7	13,5	
C17 Intestino delgado	-	-	-	-	-	5,9	-	-	-	20,5	-	-	-	-	-	-	-	-	1,8	1,7	
C18 Colôn	-	-	-	-	-	-	5,3	11,7	20,5	22,5	64,6	112,8	237,7	204,0	326,2	198,1	285,9	36,2	27,4		
C19 Junção retossigmoidóide	-	-	-	-	-	-	-	-	6,8	-	24,2	9,4	-	18,6	-	79,2	-	3,6	2,5		
C20 Reto	-	-	-	-	-	-	5,3	-	23,5	20,5	22,5	40,4	103,4	50,0	92,8	118,6	158,5	171,5	21,3	16,0	
C21 Ânus e canal anal	-	-	-	-	-	-	-	-	-	-	-	9,4	-	-	-	-	-	-	0,5	0,4	
C22 Fígado e vias biliares intra-hepáticas	-	-	-	-	-	-	-	-	-	-	7,5	16,2	47,0	12,5	18,6	-	-	-	4,5	3,7	
C24 Outras partes das vias biliares	-	-	-	-	-	-	-	-	-	6,8	-	16,2	-	-	-	-	-	-	1,4	1,1	
C25 Pâncreas	-	-	-	-	-	-	-	-	-	-	24,2	18,8	25,0	-	29,7	39,6	57,2	4,5	3,3		
C30 Cavidade nasal e ouvido médio	-	-	-	-	-	-	-	-	-	-	-	9,4	-	-	-	-	-	-	0,5	0,4	
C32 Laringe	-	-	-	-	-	-	-	-	-	7,5	24,2	103,4	37,5	74,2	59,3	-	-	-	10,9	8,7	
C34 Brônquios e pulmões	-	-	-	-	-	-	-	-	6,8	-	72,7	103,4	175,2	166,9	148,3	79,2	114,4	24,0	18,5		
C38 Coração, mediastino e pleura	-	-	-	-	-	-	-	-	-	-	-	-	12,5	-	-	-	-	-	0,5	0,4	
C40 Ossos e articulações dos membros	-	-	-	-	-	-	-	-	-	-	8,1	-	-	-	-	-	-	-	0,5	0,3	
C41 Ossos e articulações de outras localizações	-	-	-	-	-	-	-	-	-	-	-	-	-	12,5	-	-	39,6	-	0,9	0,6	
C43 Melanoma maligno da pele	-	-	-	-	-	-	-	17,6	-	45,0	32,3	18,8	25,0	37,1	29,7	39,6	-	9,5	7,3		
C44 Outras neoplasias malignas da pele	-	-	-	-	6,2	5,9	21,1	63,4	135,0	177,3	255,1	751,0	958,9	1413,7	2355,8	2965,6	3962,0	4974,3	372,8	269,8	
C45 Mesotelioma	-	-	-	-	-	-	-	5,3	-	-	-	-	-	12,5	18,6	-	-	-	1,4	1,1	
C46 Sarcoma de Kaposi	-	-	-	-	-	-	-	-	-	-	-	-	-	-	-	-	-	-	0,5	0,4	
C49 Tecido conjuntivo e de outros tecidos moles	-	-	-	-	-	-	5,3	-	-	20,5	-	8,1	-	12,5	-	-	-	-	2,7	2,2	
C50 Mama	-	-	-	-	-	-	-	-	-	-	-	-	-	-	18,6	29,7	-	-	0,9	0,7	
C60 Pênis	-	-	-	-	-	-	-	-	5,9	-	-	-	-	-	-	29,7	39,6	114,4	2,3	1,4	
C61 Próstata	-	-	-	-	-	-	-	-	5,9	20,5	75,0	218,0	329,0	725,6	816,2	533,8	277,3	457,4	95,6	74,3	
C62 Testículos	-	-	-	-	-	18,7	41,0	-	26,4	-	6,8	-	-	-	-	-	-	-	7,3	6,8	
C64 Rim	-	6,6	-	-	-	-	-	5,3	10,6	29,4	6,8	22,5	56,5	28,2	75,1	55,7	29,7	39,6	-	15,4	12,2
C65 Pelve renal	-	-	-	-	-	-	-	-	-	-	7,5	-	9,4	12,5	-	29,7	-	-	1,8	1,4	
C66 Ureteres	-	-	-	-	-	-	-	-	-	-	-	-	-	-	-	29,7	-	-	0,5	0,3	
C67 Bexiga	-	-	-	-	-	-	-	-	11,7	-	-	-	47,0	50,0	92,8	148,3	158,5	171,5	12,7	9,1	
C69 Olho e anexos	6,7	-	-	-	-	-	-	-	-	-	-	-	-	-	-	-	-	-	0,5	0,8	
C70 Meninges	-	-	-	-	-	-	-	-	-	-	-	-	9,4	-	-	-	-	-	0,5	0,4	
C71 Encéfalo	-	-	6,5	-	-	5,9	-	-	11,7	-	7,5	-	-	25,0	37,1	-	-	-	4,1	3,6	
C73 Glândula tireoide	-	-	-	-	6,2	17,6	5,3	5,3	5,9	6,8	15,0	-	9,4	-	-	-	-	-	5,0	4,4	
C80 Localização primária desconhecida	-	-	-	-	-	-	-	-	-	-	7,5	8,1	56,4	62,6	74,2	148,3	79,2	57,2	11,3	8,5	
C81 Doença de Hodgkin	-	6,6	-	6,5	12,5	5,9	10,6	-	-	-	-	-	-	12,5	-	29,7	-	-	4,1	4,0	
C82 Linfoma não-Hodgkin, folicular	-	-	-	-	-	-	-	-	-	-	-	16,2	-	12,5	-	-	-	-	1,4	1,0	
C83 Linfoma não-Hodgkin difuso	-	-	-	-	6,5	-	5,3	5,3	5,9	20,5	22,5	16,2	28,2	25,0	18,6	-	118,86	-	9,5	7,4	
C85 Linfoma não-Hodgkin de outros tipos, SOE	-	-	-	-	-	-	-	-	-	-	-	-	-	-	-	-	39,6	-	0,5	0,2	
C90 Mieloma múltiplo	-	-	-	-	-	-	-	5,3	5,9	6,8	15,0	8,1	-	-	37,1	-	39,6	-	4,1	3,1	
C91 Leucemia linfóide	6,7	-	-	-	-	-	-	5,3	5,3	-	7,5	-	18,8	-	55,7	59,3	-	-	5,0	4,3	
C92 Leucemia mielóide	-	-	-	-	-	-	-	-	-	-	7,5	8,1	-	12,5	-	-	-	57,2	1,8	1,4	
C95 Leucemia de tipo celular não especificado	-	-	-	-	-	-	-	-	5,9	-	-	-	-	12,5	-	-	79,2	-	1,8	1,1	
D46 Síndrome mielodisplásica	-	-	-	-	-	-	-	-	-	-	-	-	-	-	55,7	29,7	39,6	-	2,3	1,6	
<b>Todas as neoplasias malignas invasoras primárias</b>	13,5	13,3	6,5	12,9	37,5	82,0	42,2	84,5	176,1	191,0	360,1	767,2	1363,2	1964,2	2151,7	2105,6	1822,5	1658,1	369,6	287,5	
<b>Todas as neoplasias malignas invasoras primárias exceto pele</b>	-	-	-	-	6,2	5,9	21,1	63,4	135,0	177,3	255,1	751,0	958,9	1413,7	2355,8	2965,6	3962,0	4974,3	372,8	269,8	
D00 Carcinoma in situ da cav. oral, esôfago, estômago	-	-	-	-	-	-	-	-	-	-	-	-	-	-	-	-	-	39,6	-	0,5	0,2
D01 Carcinoma in situ de outros órgãos digestivos	-	-	-	-	-	-	-	-	-	-	-	-	-	12,5	-	29,7	-	-	0,9	0,7	
C02 Carcinoma in situ do ouvido médio e do ap. respiratório	-	-	-	-	-	-	-	-	-	-	-	-	-	12,5	-	-	-	-	0,5	0,4	
D03 Melanoma in situ	-	-	-	-	-	-	5,3	-	-	-	7,5	-	9,4	62,6	-	29,7	79,2	-	5,0	3,6	
D04 Carcinoma in situ da pele	-	-	-	-	-	-	-	5,3	11,7	20,5	7,5	48,5	47,0	37,5	148,4	266,9	237,7	457,4	23,6	16,7	
D09 Carcinoma in situ de outras localizações e das não especificadas	-	-	-	-	-	-	5,3	-	-	13,6	-	24,2	37,6	25,0	37,1	89,0	237,7	171,5	11,8	8,0	
<b>Todas as neoplasias malignas in situ</b>	-	-	-	-	-	-	10,6	5,3	11,7	34,1	15,0	72,7	94,0	150,1	185,5	415,2	594,3	628,9	42,1	29,6	
<b>Todas as neoplasias malignas primárias</b>	13,5	13,3	6,5	12,9	43,7	87,8	73,9	153,1	322,9	402,4	630,2	1590,9	2416,1	3528,1	4693,0	5486,4	6378,8	7261,3	784,6	586,9	

\* coeficiente ajustado por idade e padronizado pela população mundial

**Tabela 9 - Coeficientes de incidência, específicos por idade, brutos e ajustados\*; por 100 mil mulheres, segundo localização primária e faixa etária, RCBP-Jahu, 2018 a 2021**

Localização primária (CID-10)	Coeficientes específicos por faixa etária																Coef. Bruto	Coef. Ajust.*			
	0-	5-	10-	15-	20-	25-	30-	35-	40-	45-	50-	55-	60-	65-	70-	75-	80-	85+			
C00 Lábio	-	-	-	-	-	-	-	-	-	6,5	-	7,2	-	-	44,4	-	24,5	-	2,6	1,7	
C02 Outras partes da língua	-	-	-	-	-	-	-	-	5,7	-	-	-	8,2	-	14,8	-	-	-	1,3	1,0	
C06 Outras partes da boca	-	-	-	-	-	-	-	-	-	-	-	-	-	-	-	-	-	60,8	0,9	0,3	
C07 Glândula parótida	-	-	-	-	-	-	-	-	-	-	-	7,2	-	-	-	-	-	-	0,4	0,3	
C10 Oorfaringe	-	-	-	-	-	-	-	-	-	-	-	-	-	-	10,7	-	-	-	0,4	0,3	
C15 Esôfago	-	-	-	-	-	-	-	-	-	-	-	-	-	-	21,4	-	-	73,5	30,4	2,6	1,2
C16 Estômago	-	-	-	-	-	-	-	10,4	5,7	6,5	-	42,9	41,0	64,1	29,6	62,4	73,5	60,8	13,5	8,5	
C18 Cônlon	-	-	-	6,8	-	-	-	15,7	5,7	32,4	27,3	50,0	106,5	149,6	177,6	208,0	49,0	273,6	35,2	23,2	
C19 Junção retossigmóide	-	-	-	-	-	-	-	5,3	-	11,5	6,5	13,7	-	16,4	21,4	-	20,8	-	30,4	5,2	3,7
C20 Reto	-	-	-	-	-	-	5,3	5,2	5,7	19,4	13,7	21,5	24,6	32,1	44,4	41,6	-	-	9,6	6,9	
C22 Fígado e vias biliares intra-hepáticas	-	-	-	-	-	-	-	-	-	-	-	7,2	8,2	10,7	-	20,8	-	-	1,7	1,1	
C23 Vesícula biliar	-	-	-	-	-	-	-	-	-	-	-	-	-	-	14,8	-	24,5	30,4	1,3	0,6	
C24 Outras partes das vias biliares	-	-	-	-	-	-	-	-	-	-	-	7,2	-	10,7	-	20,8	-	30,4	1,7	1,0	
C25 Pâncreas	-	-	-	-	-	-	-	-	-	-	6,8	21,5	24,6	-	29,6	20,8	24,5	60,8	5,7	3,4	
C31 Seios da face	-	-	-	-	-	-	-	-	-	-	-	7,2	-	-	-	-	24,5	-	0,9	0,4	
C32 Laringe	-	-	-	-	-	-	-	-	-	-	-	-	-	-	10,7	-	20,8	-	0,9	0,5	
C34 Brônquios e pulmões	-	-	-	-	-	-	-	-	5,7	13,0	34,2	50,0	65,5	74,8	88,8	83,2	49,0	30,4	18,7	12,7	
C40 Ossos e articulações dos membros	-	-	-	-	-	-	-	-	-	-	-	-	-	10,7	-	-	-	-	0,4	0,3	
C41 Ossos e articulações das outras localizações	-	-	7,2	-	-	-	-	-	-	-	-	-	-	-	-	-	-	-	0,4	0,7	
C43 Melanoma maligno da pele	-	-	-	-	-	5,3	15,7	5,7	25,9	-	14,3	24,6	42,8	29,6	-	24,5	91,2	10,4	7,2		
C44 Outras neoplasias malignas da pele	-	-	-	-	6,3	23,2	31,7	73,1	91,8	272,1	334,9	500,4	663,4	1068,8	1583,8	2454,8	2303,4	3222,9	351,4	209,7	
C46 Sarcoma de Kaposi	-	-	-	-	-	-	-	-	-	-	-	-	-	-	-	-	-	30,4	0,4	0,2	
C48 Retroperitônio e peritônio	-	-	-	-	-	-	-	-	-	-	6,8	-	-	-	-	-	-	-	0,4	0,3	
C49 Tecido conjuntivo e de outros tecidos moles	-	-	-	-	-	-	5,2	-	-	-	7,2	-	-	-	-	-	-	-	0,9	0,6	
C50 Mama	-	-	-	-	-	11,6	52,9	78,3	114,8	155,5	184,6	214,5	286,7	352,7	251,6	208,0	294,1	273,6	106,1	74,8	
C51 Vagina	-	-	-	-	-	-	5,2	-	-	-	-	-	-	-	10,7	14,8	-	-	30,4	1,7	1,1
C53 Colo do útero	-	-	-	-	-	11,6	26,5	10,4	17,2	25,9	27,3	14,3	32,8	10,7	14,8	-	-	-	12,2	9,6	
C54 Corpo do útero	-	-	-	-	-	-	-	-	25,9	20,5	42,9	73,7	96,2	14,8	41,6	49,0	60,8	16,5	11,4		
C56 Ovário	-	-	7,2	-	-	10,6	-	5,7	13,0	6,8	7,2	49,1	10,7	74,0	20,8	-	-	9,1	7,0		
C64 Rim	-	-	-	-	-	-	-	11,5	6,5	13,7	-	8,2	96,2	-	20,8	24,5	-	7,4	5,3		
C65 Pelve renal	-	-	-	-	-	-	-	-	-	-	-	-	-	-	-	24,5	-	0,4	0,1		
C67 Bexiga	-	-	-	-	5,8	-	-	-	-	-	-	16,4	32,1	-	20,8	-	-	3,0	2,3		
C71 Encéfalo	-	-	-	-	-	5,3	-	-	6,5	-	28,6	8,2	10,7	14,8	41,6	24,5	30,4	5,7	3,5		
C72 Medula espinhal e outras partes do sistema nervoso	-	7,1	-	-	-	-	-	-	-	-	-	-	-	-	-	-	-	0,4	0,7		
C73 Glândula tireóide	-	-	13,7	12,7	11,6	26,5	26,1	40,2	19,4	27,3	57,2	65,5	21,4	14,8	-	-	-	-	21,3	17,1	
C74 Glândula supra-renal	-	-	-	-	-	-	-	-	-	-	-	-	-	14,8	-	-	-	0,4	0,3		
C80 Localização primária desconhecida	-	-	-	-	-	-	-	5,7	6,5	13,7	14,3	16,4	-	88,8	41,6	73,5	60,8	9,1	5,5		
C81 Doença de Hodgkin	-	-	-	-	-	15,9	-	-	6,5	-	-	-	-	-	-	-	-	-	1,7	1,3	
C82 Linfoma não-Hodgkin, folicular	-	-	-	-	-	-	-	-	-	-	-	-	-	-	-	-	-	0,4	0,2		
C83 Linfoma não-Hodgkin difuso	-	-	-	-	6,3	-	-	5,2	11,5	-	-	14,3	24,6	32,1	44,4	-	24,5	30,4	7,4	5,2	
C90 Mieloma múltiplo	-	-	-	-	-	-	-	-	-	6,5	6,8	7,2	8,2	21,4	-	-	-	24,5	60,8	3,9	2,4
C91 Leucemia linfóide	-	-	-	-	-	-	-	-	-	6,5	-	-	8,2	-	-	-	-	-	0,9	0,7	
C92 Leucemia mielóide	7,1	-	-	-	-	-	5,3	-	-	13,0	20,5	-	-	21,4	-	-	49,0	30,4	5,2	4,0	
C93 Leucemia monocítica	-	-	-	-	-	-	-	-	-	-	6,8	-	-	-	-	-	-	-	0,4	0,3	
C94 Outras leucemias de células de tipo especificado	-	-	-	-	-	-	5,2	-	-	-	-	-	-	-	-	-	-	-	0,4	0,3	
C95 Leucemia de tipo celular não especificado	-	-	-	-	-	-	-	-	5,7	6,5	-	14,3	-	10,7	29,6	41,6	-	-	3,9	2,6	
D46 Síndrome mielodisplásica	-	-	-	-	-	-	-	-	-	-	-	-	-	-	14,8	62,4	24,5	30,4	2,6	1,2	
Todas as neoplasias malignas invasoras primárias	7,1	7,1	14,4	20,5	19,0	40,6	158,7	182,8	258,2	408,2	430,6	657,7	917,3	1186,4	1065,7	1019,4	980,2	1337,8	336,2	233,2	
Todas as neoplasias malignas invasoras primárias exceto pele	-	-	-	-	6,3	23,2	31,7	73,1	91,8	272,1	334,9	500,4	663,4	1068,8	1583,8	2454,8	2303,4	3222,9	351,4	209,7	
D03 Melanoma in situ	-	-	-	-	-	-	10,4	11,5	6,5	13,7	7,2	16,4	42,8	29,6	20,8	49,0	-	8,3	5,7		
D04 Carcinoma in situ da pele	-	-	-	-	-	-	10,4	11,5	19,4	6,8	21,5	32,8	74,8	133,2	312,0	147,0	456,1	29,1	16,0		
D05 Carcinoma in situ da mama	-	-	-	-	-	-	5,2	11,5	13,0	20,5	14,3	8,2	10,7	-	20,8	24,5	-	6,1	4,4		
D06 Carcinoma in situ do colo do útero	-	-	-	-	57,0	104,4	89,9	99,2	45,9	32,4	-	21,5	16,4	32,1	-	41,6	-	-	37,4	31,9	
D07 Carcinoma in situ de outros órgãos genitais e dos não especificados	-	-	-	-	-	5,3	-	-	-	-	-	14,3	8,2	10,7	-	-	-	-	2,2	1,5	
D09 Carcinoma in situ outras localizações, SOE	-	-	-	-	-	-	-	-	-	-	6,8	7,2	16,4	-	14,8	20,8	73,5	30,4	4,4	2,3	
Todas as neoplasias malignas in situ	-	-	-	-	57,0	104,4	95,2	125,3	80,3	71,3	47,9	85,8	98,3	171,0	177,6	416,1	294,1	486,5	87,4	61,7	
Todas as neoplasias malignas primárias	7,1	7,1	14,4	20,5	82,3	168,2	285,7	381,2	430,4	751,6	813,4	1243,8	1679,0	2426,3	2827,1	3890,2	3577,6	5047,1	774,9	504,6	

\* coeficiente ajustado por idade e padronizado pela população mundial

## 5.c. Análise segundo os principais tumores

As neoplasias da pele (exceto os casos de melanoma) foram as mais frequentes em ambos os sexos com coeficientes de incidência ajustados de 269,8/100 mil homens e 209,7/100 mil mulheres.

Entre os homens, os tumores de próstata (74,3/100 mil), cólon (27,4/100 mil), brônquios e pulmões (18,5/100 mil), carcinoma in situ da pele (16,7/100 mil) e reto (16,0/100 mil) foram os que apresentaram os maiores coeficientes de incidência ajustados por idade (tabela 10). Os tumores de mama invasivos (74,8/100 mil), carcinoma in situ do colo do útero (31,9/100 mil), cólon (23,2/100 mil), carcinoma in situ da pele (16,0/100 mil) e glândula tireoide (17,1/100 mil) foram os que apresentaram os maiores coeficientes de incidência entre as mulheres (tabela 11).

**Tabela 10 - Número de casos, coeficientes de incidência, brutos e ajustados por idade\*, por 100 mil homens, segundo principais localizações de tumores, RCBP-Jahu, 2018 a 2021**

Localização primária (CID-10)		f	%	Coef. Bruto	Coef. Ajust.*
C44	Outras neoplasias malignas da pele	823	47,5	372,8	269,8
C61	Próstata	211	12,2	95,6	74,3
C18	Cólon	80	4,6	36,2	27,4
C34	Brônquios e pulmões	53	3,1	24,0	18,5
D04	Carcinoma in situ da pele	52	3,0	23,6	16,7
C20	Retônico	47	2,7	21,3	16,0
C16	Estômago	39	2,3	17,7	13,5
C64	Rim	34	2,0	15,4	12,2
C15	Esôfago	28	1,6	12,7	9,9
C67	Bexiga	28	1,6	12,7	9,1

\* coeficiente ajustado por idade e padronizado pela população mundial

**Tabela 11 - Número de casos, coeficientes de incidência, brutos e ajustados por idade\*, por 100 mil mulheres, segundo principais localizações de tumores, RCBP-Jahu, 2018 a 2021**

Localização primária (CID-10)		f	%	Coef. Bruto	Coef. Ajust.*
C44	Outras neoplasias malignas da pele	808	45,3	351,4	209,7
C50	Mama	244	13,7	106,1	74,8
D06	Carcinoma in situ do colo do útero	86	4,8	37,4	31,9
C18	Cólon	81	4,5	35,2	23,2
D04	Carcinoma in situ da pele	67	3,8	29,1	16,0
C73	Glândula tireoide	49	2,7	21,3	17,1
C34	Brônquios e pulmões	43	2,4	18,7	12,7
C54	Corpo do útero	38	2,1	16,5	11,4
C16	Estômago	31	1,7	13,5	8,5
C53	Colo do útero	28	1,6	12,2	9,6

\* coeficiente ajustado por idade e padronizado pela população mundial

## 5.d.Análise dos tumores infantis

Foram registrados 14 casos (0,4%) de tumores infantis (até 19 anos) no período de 2018 a 2021.

Considerando ambos os sexos, a idade de 5 anos foi o que teve o maior número de casos registrados, 2 casos. (gráfico 13).

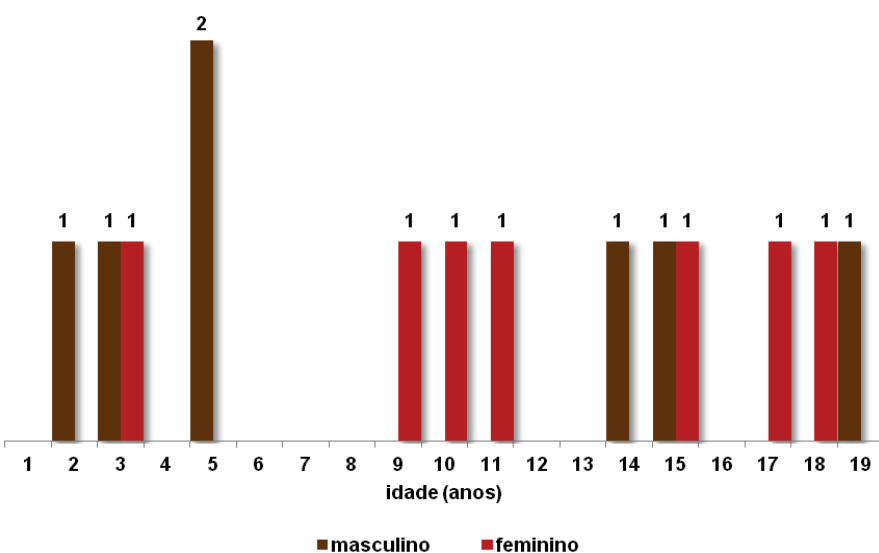
Entre os meninos, segundo a Classificação Internacional do Câncer Infantil – CICI (Steliarova-Foucher et al., 2005), o grupo de Linfomas e Neoplasias retículoendoteliais foram os mais frequentes (3 casos, 42,9%) com destaque para os casos de linfoma de Hodgkin, 2 casos (28,6%) (tabela 12).

O coeficiente de incidência ajustado por idade e padronizado pela população mundial para os meninos foi de 218,7/milhão. Para o grupo de Linfomas e Neoplasias retículoendoteliais o coeficiente ajustado foi de 46,5/milhão e para os linfoma de Hodgkin, 32,1/milhão (tabela 14).

O grupo dos carcinomas e outras neoplasias malignas epiteliais foi o mais frequente entre as meninas com 3 casos (42,9%) (tabela 13).

O coeficiente de incidência ajustado por idade e padronizado pela população mundial para as meninas foi de 235,0/milhão. Para o grupo dos carcinomas e outras neoplasias malignas epiteliais o coeficiente foi de 46,2/milhão (tabela 15).

**Gráfico 13 - Distribuição dos casos de câncer segundo idade (até 19 anos) e sexo, RCBP-Jahu, 2018 a 2021**



**Tabela 12 - Distribuição do número de casos segundo Classificação Internacional do Câncer na Infância (CICI), tumores infantis (0-19 anos), meninos, RCBP-Jahu, 2018 a 2021**

Classificação Internacional do Câncer na Infância - CICI	Idade																				Total	%
	0	1	2	3	4	5	6	7	8	9	10	11	12	13	14	15	16	17	18	19		
I - Leucemias, doenças mieloproliferativas e doenças mielodisplásicas	-	-	1	-	-	-	-	-	-	-	-	-	-	-	-	-	-	-	-	-	1	14,3
I-A - Leucemias linfóides	-	-	1	-	-	-	-	-	-	-	-	-	-	-	-	-	-	-	-	-	1	14,3
II - Linfomas e Neoplasias retículoendoteliais	-	-	-	-	-	1	-	-	-	-	-	-	-	-	1	-	-	-	1	3	42,9	
II-A - Linfomas de Hodgkin	-	-	-	-	-	1	-	-	-	-	-	-	-	-	-	-	-	-	-	-	1	28,6
II-B - Linfoma não-Hodgkin	-	-	-	-	-	-	-	-	-	-	-	-	-	-	1	-	-	-	-	-	1	14,3
III - SNC e Miscelânia de Neoplasias intracranianas e intra-espinais	-	-	-	-	-	-	-	-	-	-	-	-	-	-	1	-	-	-	-	-	1	14,3
III-B - Astroцитomas	-	-	-	-	-	-	-	-	-	-	-	-	-	-	1	-	-	-	-	-	1	14,3
V - Retinoblastoma	-	-	-	1	-	-	-	-	-	-	-	-	-	-	-	-	-	-	-	-	1	14,3
VI - Tumores Renais	-	-	-	-	-	1	-	-	-	-	-	-	-	-	-	-	-	-	-	-	1	14,3
VI-A - Tumor de Wilms, tumor rabdóide e sarcoma de células claras	-	-	-	-	-	1	-	-	-	-	-	-	-	-	-	-	-	-	-	-	1	14,3
<b>Total</b>	-	-	1	1	-	2	-	-	-	-	-	-	-	-	1	1	-	-	-	1	7	100,0

**Tabela 13 - Distribuição do número de casos segundo Classificação Internacional do Câncer na Infância (CICI), tumores infantis (0-19 anos), meninas, RCBP-Jahu, 2018 a 2021**

Classificação Internacional do Câncer na Infância - CICI	Idade																				Total	%
	0	1	2	3	4	5	6	7	8	9	10	11	12	13	14	15	16	17	18	19		
I - Leucemias, doenças mieloproliferativas e doenças mielodisplásicas	-	-	-	1	-	-	-	-	-	-	-	-	-	-	-	-	-	-	-	-	1	14,3
I-B - Leucemias mieloides agudas	-	-	-	1	-	-	-	-	-	-	-	-	-	-	-	-	-	-	-	-	1	14,3
III - SNC e Miscelânia de Neoplasias intracranianas e intra-espinais	-	-	-	-	-	-	-	-	-	-	1	-	-	-	-	-	-	-	-	-	1	14,3
III-A - Ependimomas e tumor do plexo coroíde	-	-	-	-	-	-	-	-	-	-	1	-	-	-	-	-	-	-	-	-	1	14,3
VIII - Tumores Ósseos Malignos	-	-	-	-	-	-	-	-	-	-	-	1	-	-	-	-	-	-	-	-	1	14,3
VIII-C - Sarcoma de Ewing	-	-	-	-	-	-	-	-	-	-	-	1	-	-	-	-	-	-	-	-	1	14,3
X - Neoplasias de células germinativas, trofoblásticas e outras gonadais	-	-	-	-	-	-	-	-	-	-	-	1	-	-	-	-	-	-	-	-	1	14,3
X-C - Tumores malignos de células germinativas gonadais	-	-	-	-	-	-	-	-	-	-	1	-	-	-	-	-	-	-	-	-	1	14,3
XI - Carcinomas e Outras Neoplasias Malignas Epiteliais	-	-	-	-	-	-	-	-	-	-	-	-	-	-	1	-	1	1	-	3	42,9	
XI-B - Carcinoma de tireóide	-	-	-	-	-	-	-	-	-	-	-	-	-	-	1	-	-	1	-	2	28,6	
XI-F - Outros carcinomas malignos não especificados	-	-	-	-	-	-	-	-	-	-	-	-	-	-	-	-	-	1	-	-	1	14,3
<b>Total</b>	-	-	-	1	-	-	-	-	-	1	1	1	-	-	-	1	-	1	1	-	7	100,0

**Tabela 14 - Coeficientes de incidência, brutos e ajustados por idade\*, por milhão de meninos, segundo Classificação Internacional do Câncer na Infância (CICI), tumores infantis (0-19 anos), RCBP-Jahu, 2018 a 2021**

Classificação Internacional do Câncer na Infância - CICI	Coeficientes específicos por idade																			Coef. Bruto	Coef. Ajust.*	
	0	1	2	3	4	5	6	7	8	9	10	11	12	13	14	15	16	17	18	19		
I - Leucemias, doenças mieloproliferativas e doenças mielodisplásicas	-	-	341,0	-	-	-	-	-	-	-	-	-	-	-	-	-	-	-	-	16,5	20,5	
I-A - Leucemias linfóides	-	-	341,0	-	-	-	-	-	-	-	-	-	-	-	-	-	-	-	-	16,5	20,5	
II - Linfomas e Neoplasias reticuloendoteliais	-	-	-	-	-	352,2	-	-	-	-	-	-	-	-	318,8	-	-	-	318,8	49,4	46,5	
II-A - Linfomas de Hodgkin	-	-	-	-	-	352,2	-	-	-	-	-	-	-	-	-	-	-	-	318,8	32,9	32,1	
II-B - Linfoma não-Hodgkin	-	-	-	-	-	-	-	-	-	-	-	-	-	-	318,8	-	-	-	-	16,5	14,3	
III - SNC e Miscelânia de Neoplasias intracranianas e intra-espinais	-	-	-	-	-	-	-	-	-	-	-	-	-	-	324,4	-	-	-	-	16,5	14,6	
III-B - Astroцитomas	-	-	-	-	-	-	-	-	-	-	-	-	-	-	324,4	-	-	-	-	16,5	14,6	
V - Retinoblastoma	-	-	-	340,4	-	-	-	-	-	-	-	-	-	-	-	-	-	-	-	16,5	20,4	
VI - Tumores Renais	-	-	-	-	-	352,2	-	-	-	-	-	-	-	-	-	-	-	-	-	16,5	17,6	
VI-A - Tumor de Wilms, tumor rabdóide e sarcoma de células claras	-	-	-	-	-	352,2	-	-	-	-	-	-	-	-	-	-	-	-	-	16,5	17,6	
<b>Total</b>	-	-	341,0	340,4	0,00	704,5	-	-	-	-	-	-	-	-	324,4	318,8	-	-	-	318,8	214,1	218,7

\* coeficiente ajustado por idade e padronizado pela população mundial

**Tabela 15 - Coeficientes de incidência, brutos e ajustados por idade\*, por milhão de meninas, segundo Classificação Internacional do Câncer na Infância (CICI), tumores infantis (0-19 anos), RCBP-Jahu, 2018 a 2021**

Classificação Internacional do Câncer na Infância - CICI	Coeficientes específicos por idade																			Coef. Bruto	Coef. Ajust.*	
	0	1	2	3	4	5	6	7	8	9	10	11	12	13	14	15	16	17	18	19		
I - Leucemias, doenças mieloproliferativas e doenças mielodisplásicas	-	-	-	356,9	-	-	-	-	-	-	-	-	-	-	-	-	-	-	-	17,6	21,4	
I-B - Leucemias mieloides agudas	-	-	-	356,9	-	-	-	-	-	-	-	-	-	-	-	-	-	-	-	17,6	21,4	
III - SNC e Miscelânia de Neoplasias intracranianas e intra-espinais	-	-	-	-	-	-	-	-	-	332,6	-	-	-	-	-	-	-	-	-	17,6	16,6	
III-A - Ependimomas e tumor do plexo coroíde	-	-	-	-	-	-	-	-	-	332,6	-	-	-	-	-	-	-	-	-	17,6	16,6	
VIII - Tumores Ósseos Malignos	-	-	-	-	-	-	-	-	-	-	361,6	-	-	-	-	-	-	-	-	17,6	16,3	
VIII-C - Sarcoma de Ewing	-	-	-	-	-	-	-	-	-	-	361,6	-	-	-	-	-	-	-	-	17,6	16,3	
X - Neoplasias de células germinativas, trofoblásticas e outras gonadais	-	-	-	-	-	-	-	-	-	-	374,7	-	-	-	-	-	-	-	-	17,6	16,9	
X-C - Tumores malignos de células germinativas gonadais	-	-	-	-	-	-	-	-	-	-	374,7	-	-	-	-	-	-	-	-	17,6	16,9	
XI - Carcinomas e Outras Neoplasias Malignas Epiteliais	-	-	-	-	-	-	-	-	-	-	-	-	-	-	339,1	-	343,8	342,3	-	52,7	46,2	
XI-B - Carcinoma de tireóide	-	-	-	-	-	-	-	-	-	-	-	-	-	-	339,1	-	342,3	-	35,2	30,7		
XI-F - Outros carcinomas malignos não especificados	-	-	-	-	-	-	-	-	-	-	-	-	-	-	-	343,8	-	-	17,6	15,5		
<b>Total</b>	-	-	-	356,9	-	-	-	-	-	332,6	374,7	361,6	-	-	-	339,1	-	343,8	342,3	-	246,1	235,0

\* coeficiente ajustado por idade e padronizado pela população mundial

## 5.e.Indicadores de qualidade

No sentido de avaliar a qualidade das informações produzidas pelos RCBP's, um conjunto de indicadores é produzido e apresentado na tabela 16.

Os indicadores apresentados tem por base o Relatório Técnico nº 19 da *International Agency for Research on Cancer: Comparabilidade e controle de qualidade em registros de câncer* (Parkin, 1994).

Observa-se que os indicadores do RCBP-Jahu tem se mantido dentro dos parâmetros sugeridos pelo INCA dentro da realidade brasileira. Ressalta-se que, excluindo-se os dados do período 1996-1999, os indicadores tem apresentado uma melhora, em especial os do último período.

**Tabela 16 - Indicadores de qualidade dos dados registrados e parâmetros sugeridos pelo INCA, RCBP-Jahu, 1996-1999 a 2018-2021**

Indicador	Parâmetros sugeridos (INCA)	RCBP-Jahu (períodos)					
		1996-1999	2000-2004	2005-2009	2010-2012	2013-2017	2018-2021
Total de casos novos registrados no período (C00-C96,D00-D09, D46)	-	1.574	2.914	3.221	2.252	4.458	3.514
% Diagnóstico histopatológico	> 70%	99,8%	97,3%	96,3%	96,8%	98,2%	98,8%
% Idade ignorada	< 10%	0,0%	0,0%	0,0%	0,0%	0,0%	0,0%
% Localização primária desconhecida (C80)	< 10%	2,1%	1,9%	2,7%	2,2%	1,7%	2,9%
% Razão Mortalidade/Icidênciam	20-30%	33,2%	23,4%	25,7%	22,4%	21,4%	21,4%
% S.D.O.	< 20%	0,0%	1,1%	0,5%	0,4%	0,0%	0,0%

## 6.Análise segundo RCBP's do Brasil

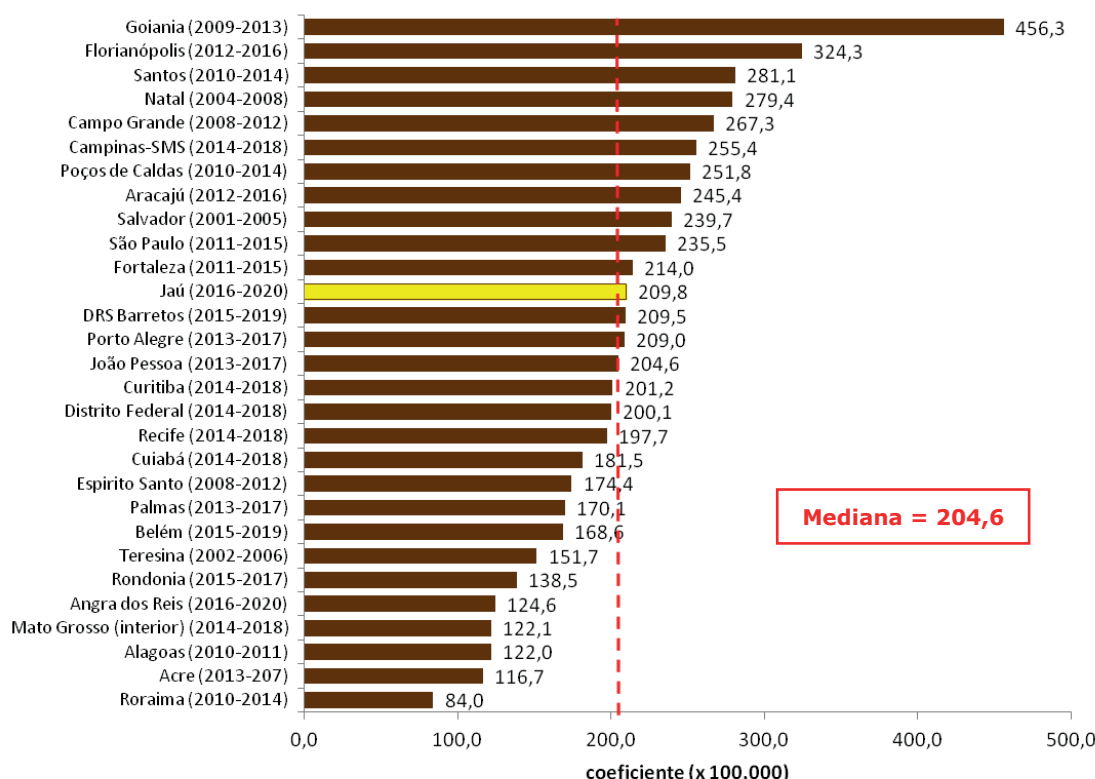
Com o objetivo de comparar os coeficientes de incidência por câncer em Jahu com outras localidades, coeficientes de incidência para as principais localizações de tumores em ambos os sexos de 28 RCBPs brasileiros com dados disponíveis (INCA, 2020), são apresentados.

Para possibilitar uma avaliação global entre os coeficientes, foi calculada a mediana dos coeficientes de incidência ajustados por idade como uma medida de tendência central.

**Figura 3: Localização dos Registros de Câncer de Base Populacional, Brasil**

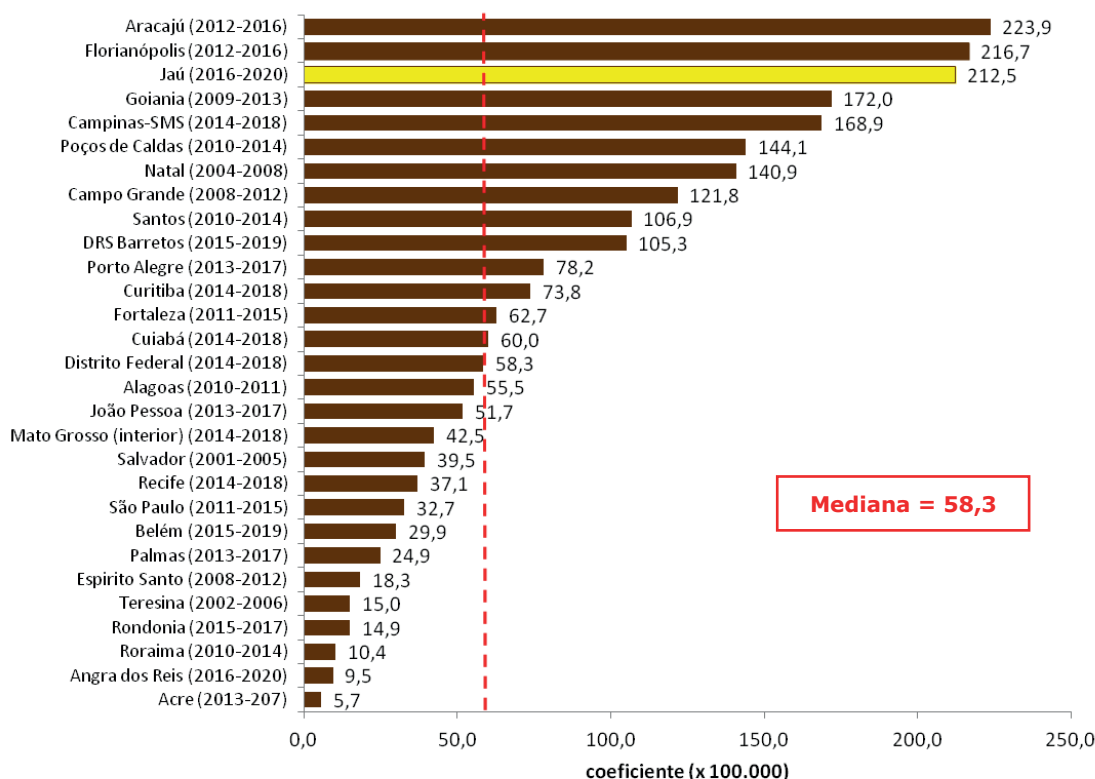


**Gráfico 14 - Coeficientes de incidência ajustados por idade\*, segundo RCBP's brasileiros e período de referência, todas as localizações\*\*, sexo masculino**



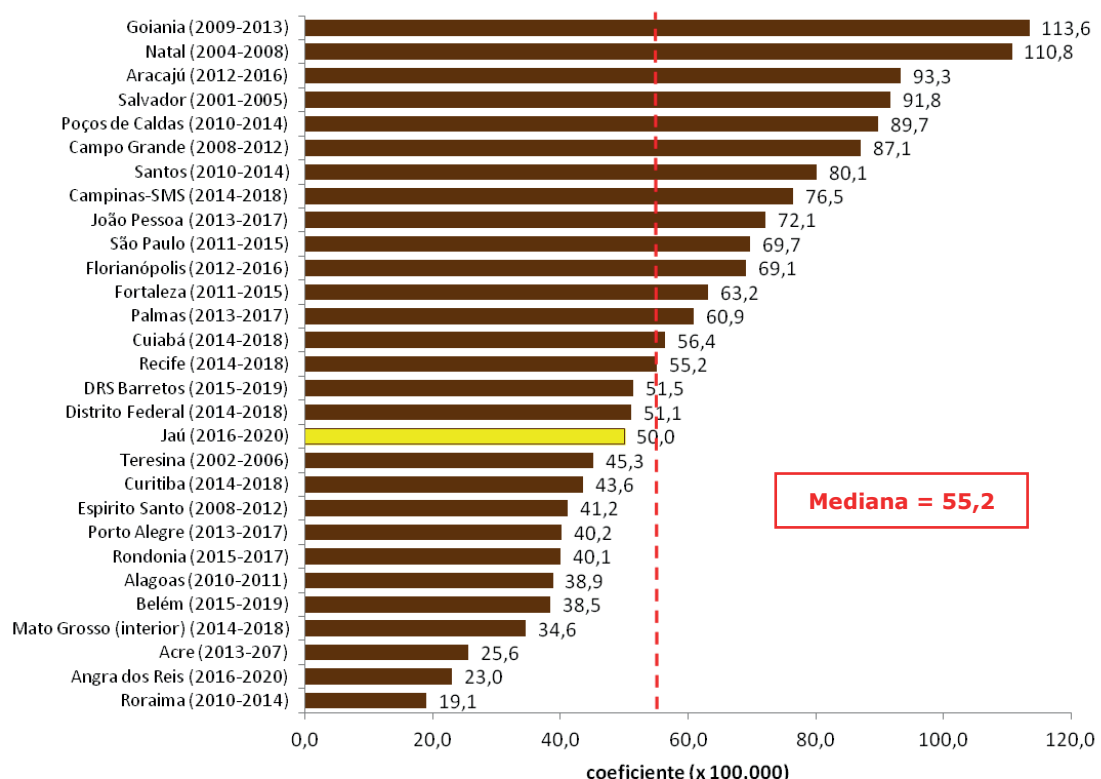
\*\* excluem-se os casos de pele não melanoma e os tumores *in situ*

**Gráfico 15 - Coeficientes de incidência ajustados por idade\*, segundo RCBP's brasileiros e período de referência, pele não melanoma, sexo masculino**

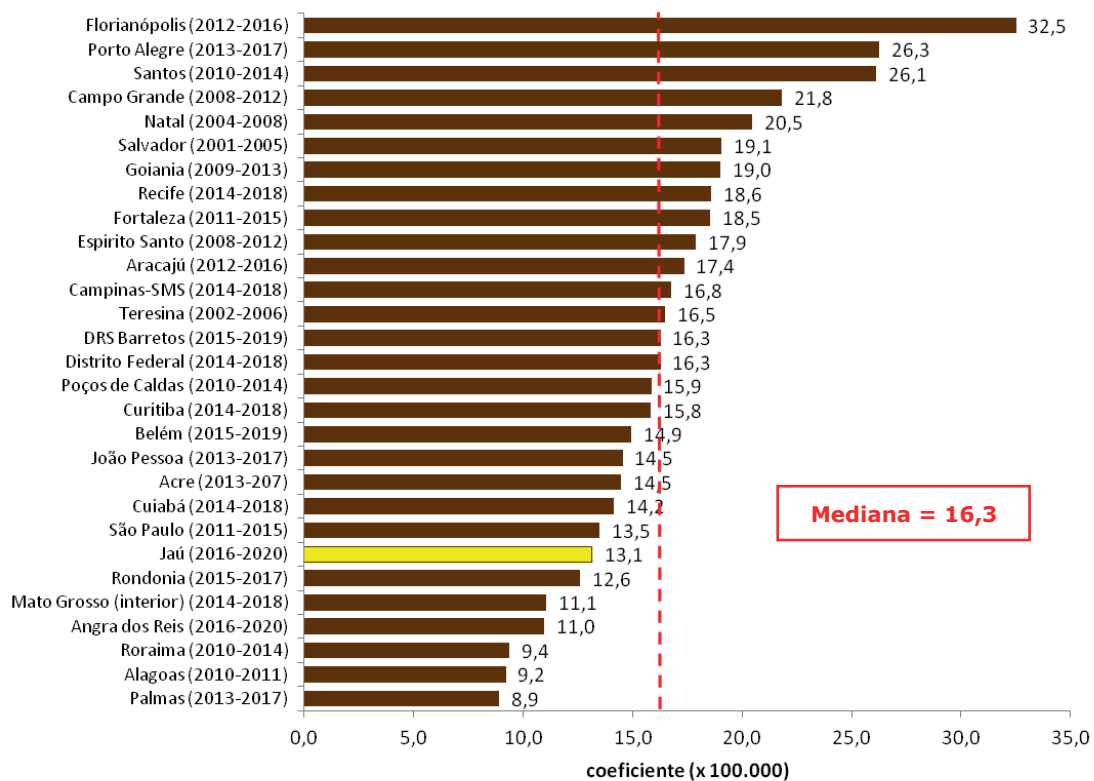


\* coeficiente ajustado por idade e padronizado pela população mundial por 100 mil habitantes

**Gráfico 16 - Coeficientes de incidência ajustados por idade\*, segundo RCBP's brasileiros e período de referência, próstata**

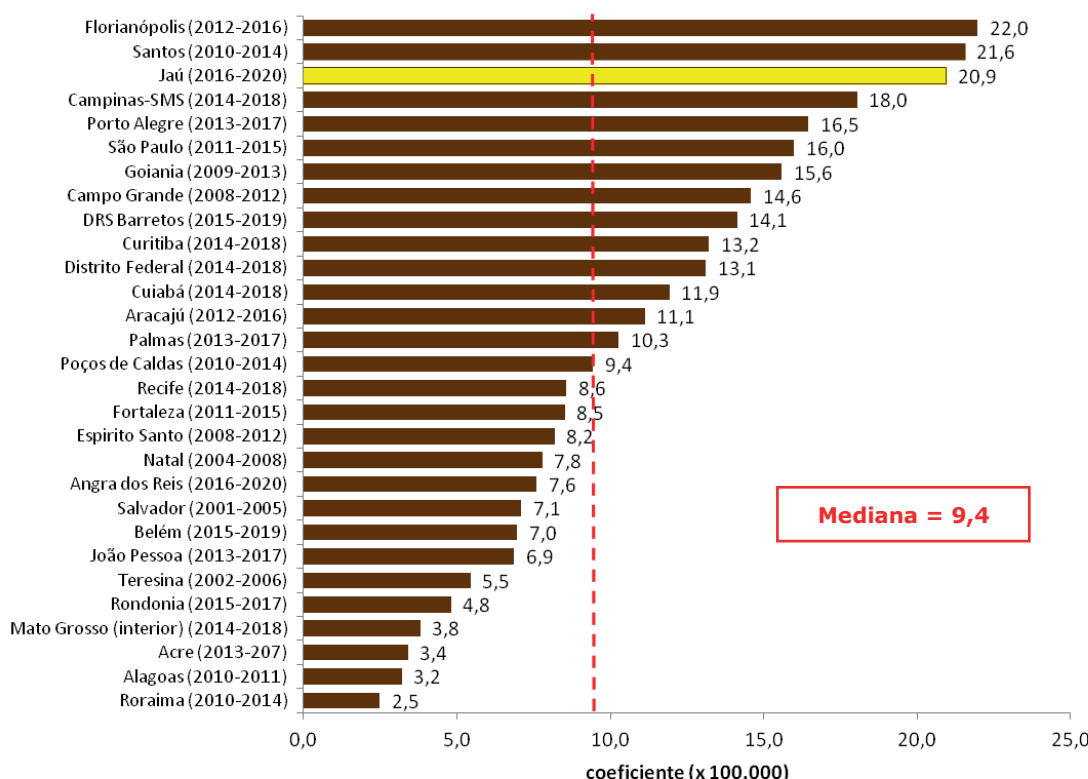


**Gráfico 17 - Coeficientes de incidência ajustados por idade\*, segundo RCBP's brasileiros e período de referência, brônquios e pulmões, sexo masculino**

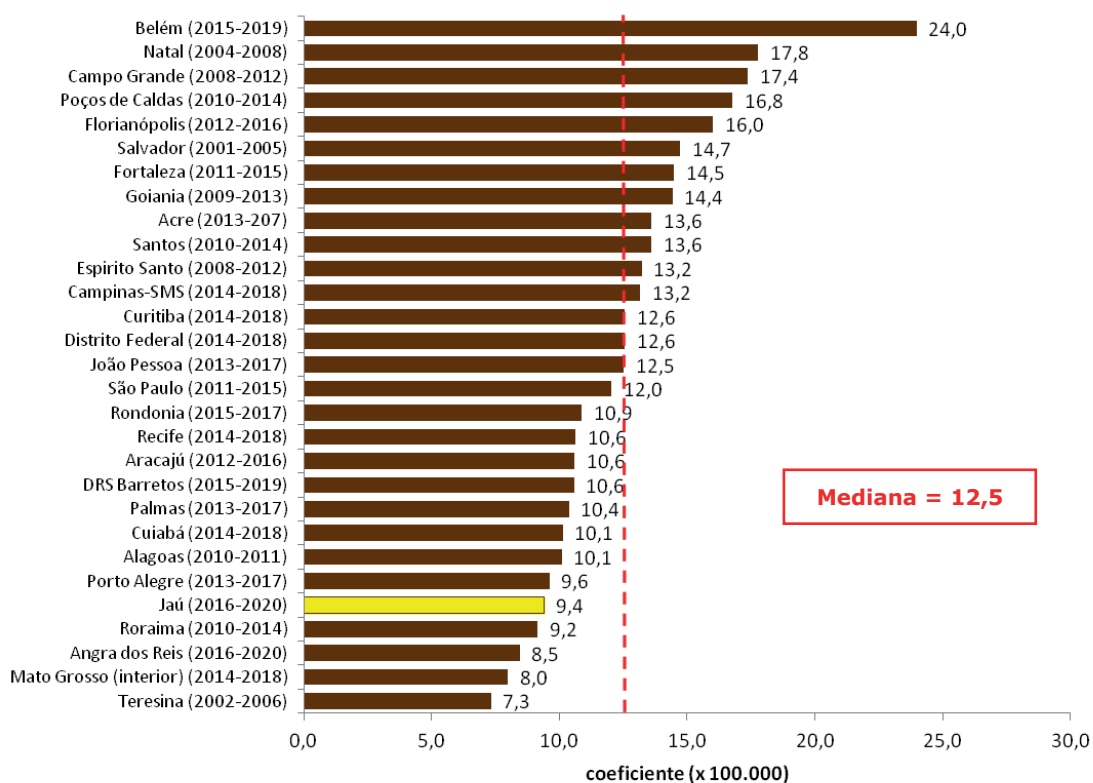


\* coeficiente ajustado por idade e padronizado pela população mundial por 100 mil habitantes

**Gráfico 18 - Coeficientes de incidência ajustados por idade\*, segundo RCBP's brasileiros e período de referência, colon, sexo masculino**

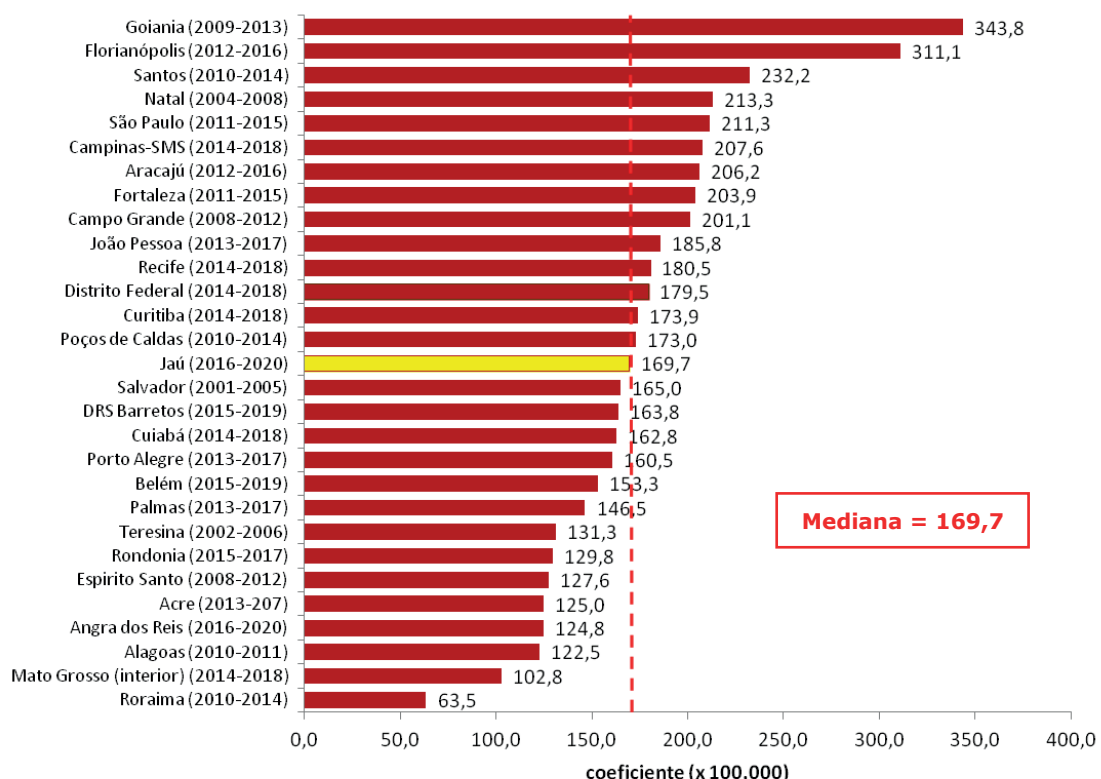


**Gráfico 19 - Coeficientes de incidência ajustados por idade\*, segundo RCBP's brasileiros e período de referência, estômago, sexo masculino**



\* coeficiente ajustado por idade e padronizado pela população mundial por 100 mil habitantes

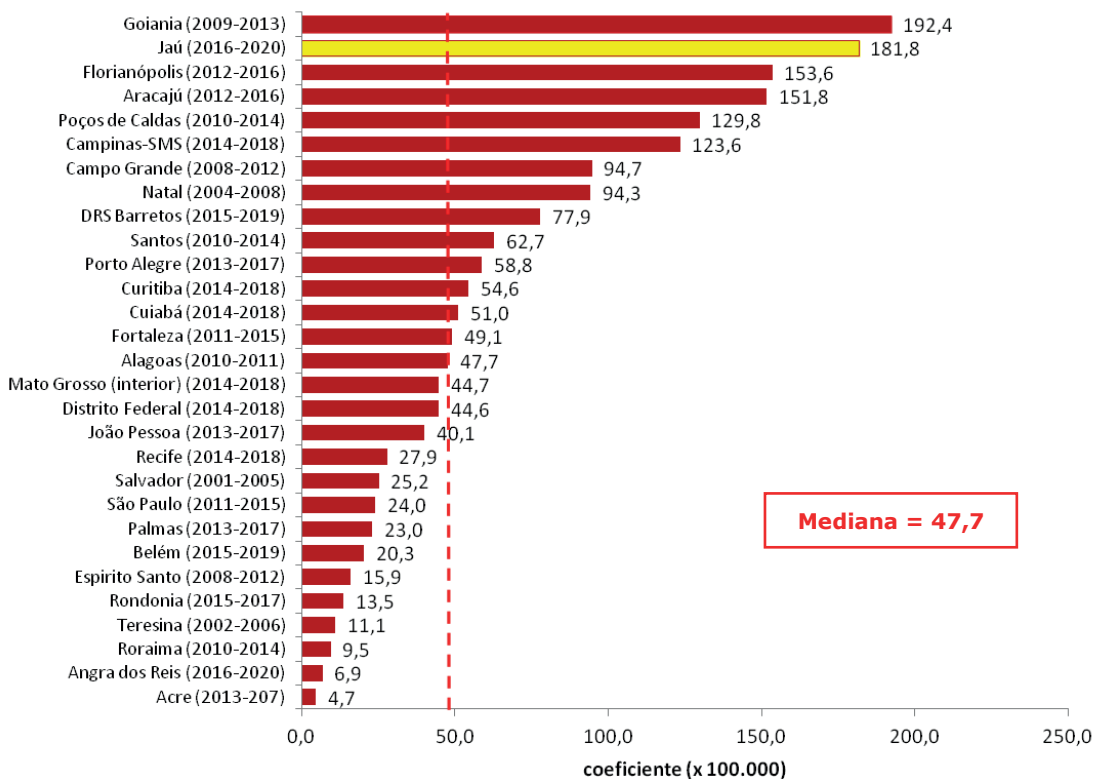
**Gráfico 20 - Coeficientes de incidência ajustados por idade\*, segundo RCBP's brasileiros e período de referência, todas as localizações\*\*, sexo feminino**



Mediana = 169,7

\*\* excluem-se os casos de pele não melanoma e os tumores *in situ*

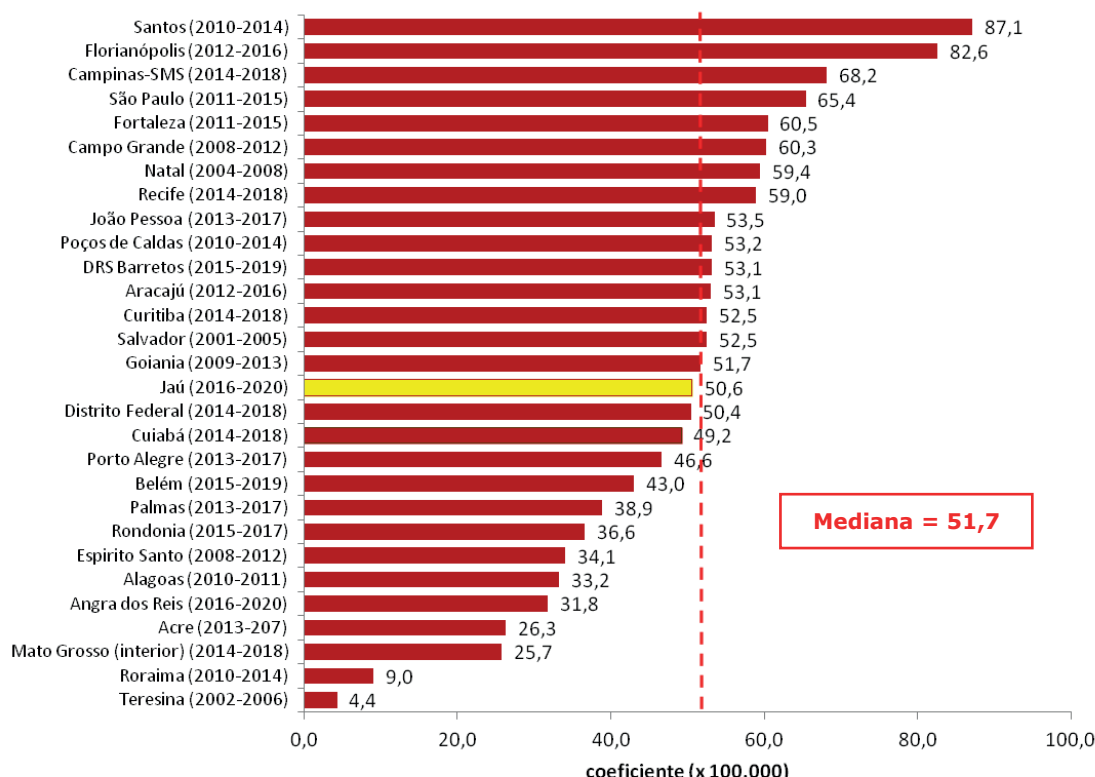
**Gráfico 21 - Coeficientes de incidência ajustados por idade\*, segundo RCBP's brasileiros e período de referência, pele não melanoma, sexo feminino**



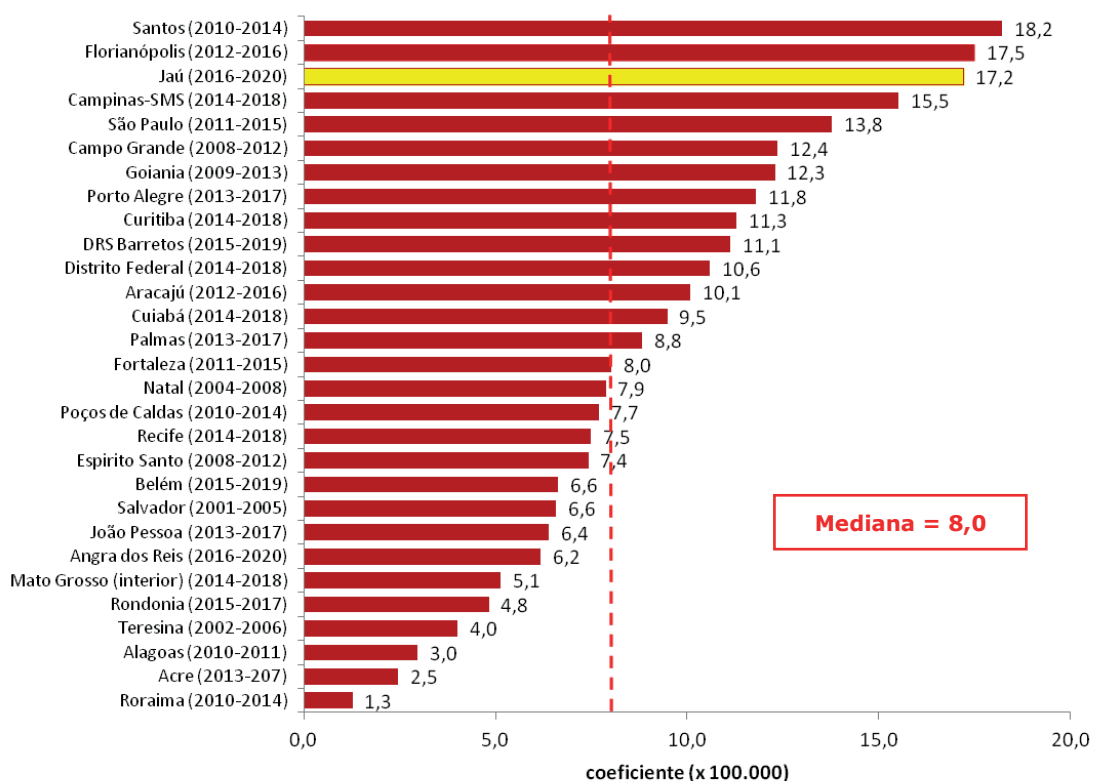
Mediana = 47,7

\* coeficiente ajustado por idade e padronizado pela população mundial por 100 mil habitantes

**Gráfico 22 - Coeficientes de incidência ajustados por idade\*, segundo RCBP's brasileiros e período de referência, mama, sexo feminino**

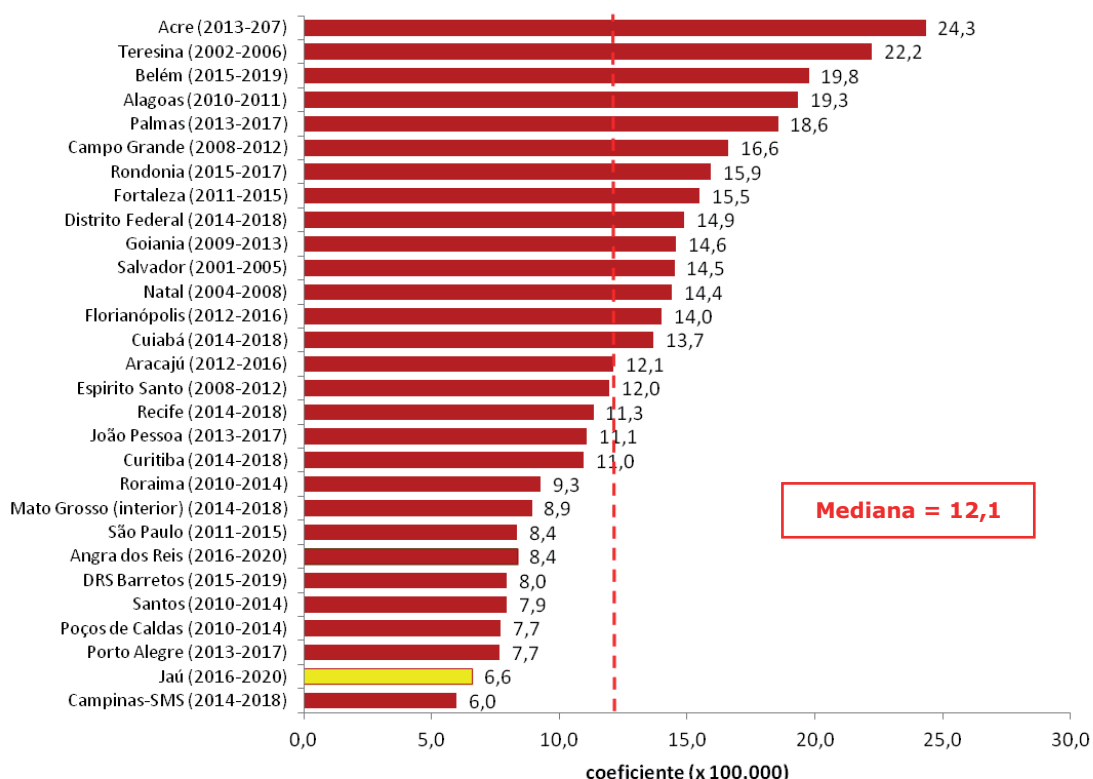


**Gráfico 23 - Coeficientes de incidência ajustados por idade\*, segundo RCBP's brasileiros e período de referência, côlon, sexo feminino**

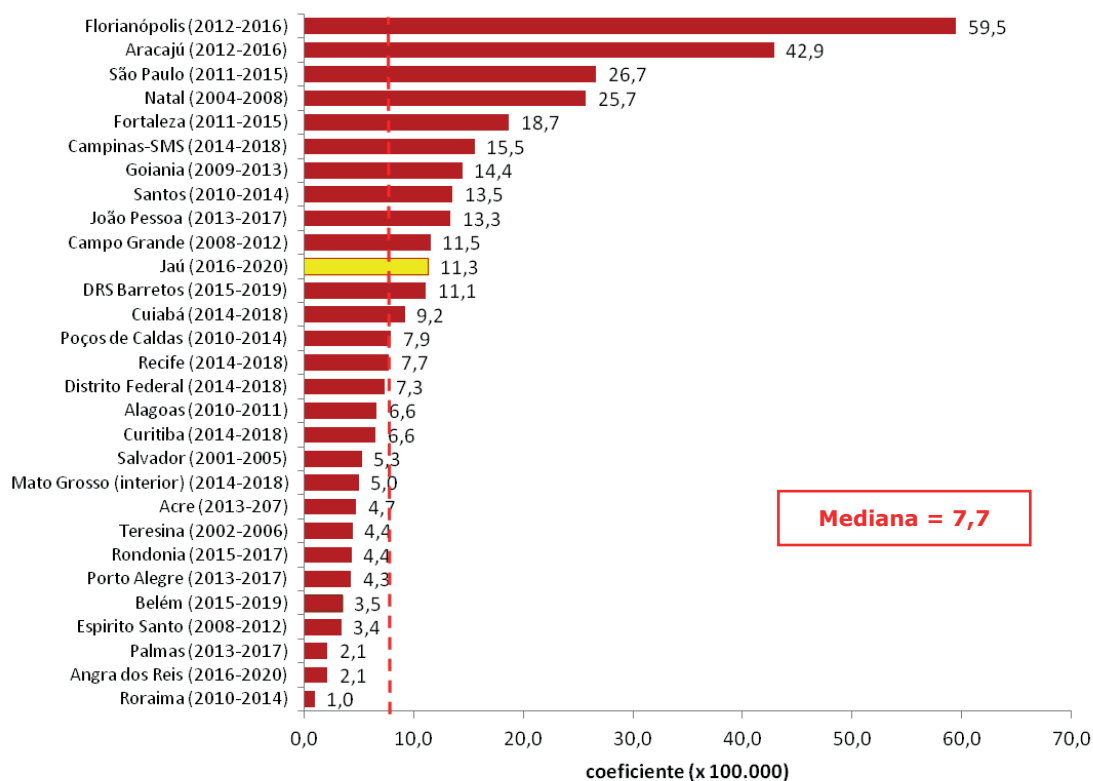


\* coeficiente ajustado por idade e padronizado pela população mundial por 100 mil habitantes

**Gráfico 24 - Coeficientes de incidência ajustados por idade\*, segundo RCBP's brasileiros e período de referência, colo do útero**



**Gráfico 25 - Coeficientes de incidência ajustados por idade\*, segundo RCBP's brasileiros e período de referência, glândula tireóide, sexo feminino**



\* coeficiente ajustado por idade e padronizado pela população mundial por 100 mil habitantes

## 7.Destaques

- ✓ Considerando os dados do período **2018 a 2021 (4 anos)**, foram registrados **3.514 casos novos** de câncer em Jahu com média de **879 casos/ano**;
- ✓ As dez localizações primárias mais incidentes (coeficiente ajustado por e idade e padronizado pela população mundial) entre os **homens** foram: pele não melanoma (269,8/100 mil), próstata (74,3/100 mil), cólon (27,4/100 mil), brônquios e pulmões (18,5/100 mil), carcinoma in situ da pele (16,7/100 mil), reto (16,0/100 mil), estômago (13,5/100 mil), rim (12,2/100 mil), esôfago (9,9/100 mil) e bexiga (9,1/100 mil);
- ✓ Nas **mulheres**, as dez principais localizações (coeficiente ajustado por idade e padronizado pela população mundial) foram: pele não melanoma (209,7/100 mil), mama (74,8/100 mil), carcinoma in situ do colo do útero (31,9/100 mil), cólon (23,2/100 mil), glândula tireóide (17,1/100 mil), carcinoma in situ da pele (16,0/100 mil), brônquios e pulmões (12,7/100 mil), corpo do útero (11,4/100 mil), colo do útero (9,6/100 mil) e estômago (8,5/100 mil). Destaca-se o **carcinoma in situ do colo do útero** como o terceiro tumor mais incidente entre as mulheres;
- ✓ Os tumores **pediátricos** (até 19 anos) representaram **0,4%** dos casos registrados entre **2018 e 2021 (14 casos)**;
- ✓ O coeficiente de incidência ajustado por idade e padronizado pela população mundial para os **meninos** foi de **218,7/milhão** e entre as **meninas, 235,0/milhão**;
- ✓ Entre os **meninos**, segundo a Classificação Internacional do Câncer na Infância (CICI), o **grupo dos Linfomas e Neoplasias retículoendoteliais** foi o de **maior incidência (46,5/milhão)**, com destaque para os **linfomas de Hodgkin (32,1/milhão)**;
- ✓ Entre as **meninas**, o **grupo dos carcinomas e outras neoplasias malignas epiteliais** foi o que apresentou a **maior incidência (46,2/milhão)**. Destaque também para o grupo das **leucemias, doenças mielodisplásicas e doenças mieloproliferativas** com incidência de **21,4 casos por milhão**;
- ✓ Na comparação entre os **28 RCBP's brasileiros**, para os homens, os maiores coeficientes de incidência ajustados por idade para todas as neoplasias (exceto os tumores de pele não melanoma e os tumores in situ), foram encontrados em **Goiânia**

**(456,3/100 mil), Florianópolis (324,3/100 mil), Santos (281,1/100 mil), Natal (279,4/100 mil) e Campo Grande (267,3/100 mil).** Em Jau o coeficiente foi de **209,8/100 mil**, entre os homens. Destacando que a **mediana** entre todos os coeficientes brasileiros foi de **204,6/100 mil**;

- ✓ Entre as mulheres os maiores coeficientes de incidência ajustados por idade para todas as neoplasias (exceto os tumores de pele não melanoma e os tumores in situ), foram encontrados em **Goiânia (343,8/100 mil)**, **Florianópolis (311,1/100 mil)**, **Santos (232,2/100 mil)**, **Natal (213,3/100 mil)** e **São Paulo (211,3/100 mil)**. Em Jahu o coeficiente foi de **169,7/100 mil**, coeficiente que equivale também a **mediana** entre todos os coeficientes brasileiros (**169,7/100 mil**).

## 8.Referências bibliográficas

Allemani C, Weir HK, Carreira H, Harewood R, Spika D, Wang X-S, et al. Global surveillance of cancer survival 1995–2009: analysis of individual data for 25 676 887 patients from 279 population-based registries in 67 countries (CONCORD-2). *The Lancet.* 2014;385(9972):977-1010.

Allemani C, Matsuda T, Di Carlo V, Harewood R, Matz M, Niksic M, et al. Global surveillance of trends in cancer survival 2000-14 (CONCORD-3): analysis of individual records for 37 513 025 patients diagnosed with one of 18 cancers from 322 population-based registries in 71 countries. *The Lancet.* 2018;391:1023-1075.

Bray F, Colombet M, Mery L, Piñeros M, Znaor A, Zanetti R, Ferlay J, editors (2021). Cancer Incidence in Five Continents. Vol. XI. IARC Scientific Publication No. 166. Lyon: International Agency for Research on Cancer. Disponível em: <https://publications.iarc.fr/597>. Licence: CC BY-NC-ND 3.0 IGO.

Doll. R. & Cook. P. (1967) Summarising índices for comparasion of câncer incidence data. *Int. J. Cancer.* 2. 269-279.

INSTITUTO NACIONAL DE CÂNCER. Coordenação de Prevenção e Vigilância. Divisão de Vigilância e Análise de Situação. Registros de Câncer de Base Populacional. 2020. Disponível em <https://www.inca.gov.br/BasePoplncidencias>. Acesso em 18/02/2021.

Kramárová E, Stiller CA. The international classification of childhood cancer. *Int J Cancer.* 1996;68(6):759-65.

MINISTÉRIO DA SAÚDE. Instituto Nacional de Câncer. Atlas de mortalidade. Disponível em <https://mortalidade.inca.gov.br/MortalidadeWeb/>. Asseso em 17/03/2021.

MINISTÉRIO DO PLANEJAMENTO. ORÇAMENTO E GESTÃO. Instituto Brasileiro de Geografia e Estatística. Diretoria de Pesquisas. Coordenação de População e Indicadores Sociais. Estimativas da população residente com data de referência 1º de julho de 2020. Disponível em: <https://cidades.ibge.gov.br/brasil/sp/jau/panorama>. Asseso em 10/03/2021.

ORGANIZAÇÃO MUNDIAL DE SAÚDE. Centro da OMS para Classificação de Doenças em Português. Universidade de São Paulo. Classificação Estatística Internacional de Doenças e Problemas Relacionados à Saúde. 10ª revisão. São Paulo. 1995.

ORGANIZAÇÃO MUNDIAL DE SAÚDE. CID-O: Classificação Internacional de Doenças para Oncologia. 3. ed. São Paulo: Editora da Universidade de São Paulo: Fundação Oncocentro de São Paulo, 2005

Parkin DM, Chen VW, Ferlay J, Galceran J, Storm HH, Whelan SL. Comparability and Quality Control in Cancer Registration. IARC Technical Report No. 19, 1994.

Segalla JGM et al. Registro de Câncer de Base Populacional Jaú – SP: 2000 a 2004: Joarte; 2009.

Segalla JGM et al. Registro de Câncer de Base Populacional Jaú – SP: 2005 a 2009: Joarte; 2010.

Veneziano DB et al. Registro de Câncer de Base Populacional Jaú – SP: 1996 – 1999 e 2010 – 2012: Joarte; 2015.

Veneziano DB et al. Registro de Câncer de Base Populacional Jaú – SP: 2013 – 2017: 11 Letras; 2021.

Steliarova-Foucher E, Stiller C, Lacour B, Kaatsch P. International Classification of Childhood Cancer. third edition. *Cancer.* 2005;103(7):1457-67.

## 9.Anexo

### Anexo I: Modelo da ficha de coleta de dados



**Secretaria de Saúde do Município de Jahu  
Fundação Dr. Amaral Carvalho**

**Registro de Câncer de Base Populacional**



Ano

Fonte de Informação \_\_\_\_\_

Nº do Prontuário

Cartão SUS

CPF / RG

<input type="text"/>	<input type="text"/>	<input type="text"/>
----------------------	----------------------	----------------------

Nome completo do paciente \_\_\_\_\_

Nome da mãe \_\_\_\_\_

Data de Nascimento \_\_\_\_ / \_\_\_\_ / \_\_\_\_

Idade \_\_\_\_\_

Sexo  Masculino  
 Feminino

Cor  1 Branca  
 2 Negra  
 3 Amarela  
 4 Parda  
 5 Indígena  
 9 Sem informação

Nacionalidade \_\_\_\_\_

Naturalidade \_\_\_\_\_

Escolaridade  0-sem escolaridade / 1-fundamental I (1<sup>a</sup>-4<sup>a</sup> serie) / 2-fundamental II (5<sup>a</sup>-8<sup>a</sup> serie) / 3-médio (2<sup>o</sup> grau)  
 4-superior incompleto / 5-superior completo / 9-sem informação

Estado civil  1-Solteiro / 2-Casado / 3-Viúvo / 4-Separado / 5-União Consensual / 9-Sem Informação

Profissão \_\_\_\_\_

<input type="text"/>	<input type="text"/>	<input type="text"/>
----------------------	----------------------	----------------------

Endereço \_\_\_\_\_

Cep

<input type="text"/>					
----------------------	----------------------	----------------------	----------------------	----------------------	----------------------

Nº Exame \_\_\_\_\_

Topo (localização) \_\_\_\_\_

<input type="text"/>	<input type="text"/>	<input type="text"/>
----------------------	----------------------	----------------------

Morfo (tipo histológico) \_\_\_\_\_

<input type="text"/>	<input type="text"/>	<input type="text"/>
----------------------	----------------------	----------------------

Meio de Diagnóstico

<input type="checkbox"/> 0 SDO	<input type="checkbox"/> 5 Citologia
<input type="checkbox"/> 1 Clínico	<input type="checkbox"/> 6 Histologia - meta
<input type="checkbox"/> 2 Pesquisa	<input type="checkbox"/> 7 Histologia - prim.
<input type="checkbox"/> 4 Marcadores	<input type="checkbox"/> 9 Sem informação

Extensão da Doença

<input type="checkbox"/> 1 Localizado	<input type="checkbox"/> 4 Não se aplica
<input type="checkbox"/> 2 Metástase	<input type="checkbox"/> 9 Sem informação
<input type="checkbox"/> 3 "In situ"	

Lateralidade

<input type="checkbox"/> 1 Direita	<input type="checkbox"/> 2 Esquerda
<input type="checkbox"/> 3 Bilateral	<input type="checkbox"/> 8 Não se aplica
<input type="checkbox"/> 9 Sem informação	

Estadiamento

Estadio \_\_\_\_\_

TNM \_\_\_\_\_

Metástase à distância \_\_\_\_\_

Tipo de óbito

Data do Diagnóstico: \_\_\_\_ / \_\_\_\_ / \_\_\_\_

Câncer

Registrador

Data do Óbito: \_\_\_\_ / \_\_\_\_ / \_\_\_\_

Não Câncer

Data da Coleta: \_\_\_\_ / \_\_\_\_ / \_\_\_\_

Ignorado





# HOSPITAL AMARAL CARVALHO

---

110 *anos*

Um legado de saúde,  
**um futuro de excelência**



HOSPITAL  
AMARAL CARVALHO